

รายงานการวิจัย

การสร้างและทดสอบประสิทธิภาพของชุดทดลองการวัดความหนืดของของเหลวด้วยคลื่นอัลตราโซนิก

The Construction and Efficiency of Experimental Set of Viscosity Meter on the Fluid by

Ultrasonic Wave

ผู้วิจัย

นายบุญคุ่ม กงมหา

โครงการวิจัยทุนสนับสนุนงานวิจัยของมหาวิทยาลัยเทคโนโลยีราชมงคลกรุงเทพ

งบประมาณแผ่นดินปี พ.ศ. 2554

มหาวิทยาลัยเทคโนโลยีราชมงคลกรุงเทพ



รายงานการวิจัย

การสร้างและพัฒนาประสิทธิภาพของชุดทดลองการวัดความหนืดของของเหลวด้วยคลื่นอัลตราโซนิก

The Construction and Efficiency of Experimental Set of Viscosity Meter on the Fluid by

Ultrasonic Wave

ผู้วิจัย

นายบุญคุ่ม กงมหา

โครงการวิจัยทุนสนับสนุนงานวิจัยของมหาวิทยาลัยเทคโนโลยีราชมงคลกรุงเทพ

งบประมาณแผ่นดินปี พ.ศ. 2554

มหาวิทยาลัยเทคโนโลยีราชมงคลกรุงเทพ

บทคัดย่อ

งานวิจัยนี้มีวัตถุประสงค์เพื่อสร้างชุดทดลองการวัดความหนืดของของไหลด้วยคลื่นอัลตราโซนิกและเพื่อหาประสิทธิภาพของชุดทดลองการวัดความหนืดของของไหลด้วยคลื่นอัลตราโซนิก ซึ่งชุดทดลองประกอบด้วยส่วนประกอบสำคัญ 4 ส่วน คือ ส่วนที่ 1 ถังน้ำ ส่วนที่ 2 ห้องน้ำที่มีหัวอัลตราโซนิกทรายสกิวเซอร์ส่งสัญญาณอัลตราโซนิกภายในห้อง โดยท่อเม็ดขนาดเส้นผ่านศูนย์กลางภายใน 0.0139 เมตร ยาว 5 เมตร ตรงกลางห้องจะติดตั้งให้พอดีกับหัวอัลตราโซนิกทรายสกิวเซอร์ โดยวางให้ทำนูน 30 องศา ส่วนที่ 3 ถังรองน้ำและส่วนป้อนกลับของของไหล และส่วนที่ 4 ชุดควบคุมและจอยแสดงผล

เมื่อนำชุดทดลองดังกล่าวมาหาประสิทธิภาพของชุดทดลองโดยวัดความหนืดของน้ำด้วยคลื่นอัลตราโซนิกที่อุณหภูมิ 313.15 K จำนวน 50 ครั้ง ได้ค่าความหนืดเฉลี่ยอยู่ที่ 0.000590 N.s/m^2 มีค่าความเบี่ยงเบนมาตรฐาน ± 0.000016 ซึ่งใกล้เคียงกับค่าความหนืดน้ำมาตรฐานที่ 0.000656 N.s/m^2 และมีเปอร์เซ็นต์ความคลาดเคลื่อน คิดเป็นค่าเฉลี่ยความคลาดเคลื่อนร้อยละ 10.



Abstract

The objective of this research is to create a set of experiments for measuring the viscosity of the fluid with ultrasonic waves and to determine the efficiency of a experimental set to measure the viscosity of the fluid with ultrasonic waves. The set of experiments consists of four major component parts. Part 1 is the water tank, part 2 is a head of ultrasonic transducer set in the pipe with diameter of pipe 0.0139 meters wide and long 5 meters. Drill pipe on two channels to fit on two channels ultrasonic transducer at center position of pipe length by placing it at an angle of 30 degrees, part 3 the water tank and part 4 is control and display.

Then measure efficiency of the experimental set to measure viscosity of water with ultrasonic waves at temperature 313.15 K and 50 times. The viscosity average is 0.000590 N.s/m^2 and standard deviation is ± 0.000016 which is close to viscosity of water standards and percentage of average errors are 10 percent.

กิตติกรรมประกาศ

รายงานการวิจัยเรื่อง การสร้างและหาประสิทธิภาพการวัดความหนืดของของไอลดี้คัลคัลล์
อัลตราโซนิก โครงการทุนสนับสนุนงานวิจัยของมหาวิทยาลัยเทคโนโลยีราชมงคลกรุงเทพ งบประมาณ
แผ่นดิน ประจำปีงบประมาณ 2554 ซึ่งโครงการวิจัยนี้เกิดขึ้นจากการสนับสนุนของสถาบันวิจัยและ
พัฒนา (สวพ.) มหาวิทยาลัยเทคโนโลยีราชมงคลกรุงเทพ โดยได้รับการฝึกอบรมเพื่อให้ผู้วิจัยเข้าใจ
แนวทางในการวิจัยอย่างมีคุณภาพ การให้การประสานงานและการอำนวยความสะดวกต่างๆ ทำให้การ
จัดการโครงการงานวิจัยได้เป็นอย่างดี ขอขอบคุณผู้อำนวยการสถาบันวิจัยและพัฒนาและเจ้าหน้าที่ทุก
ท่านเป็นอย่างยิ่ง ขอขอบคุณอาจารย์สุชาติ แซ่เง ที่กรุณาให้ความรู้และชี้นำแนวทางให้คำปรึกษาที่ดีจน
งานวิจัยสำเร็จลุล่วงด้วยดี ขอขอบคุณ พศ.สุจิตต์ ศรีษะ ที่ช่วยซีเนะและเป็นกำลังใจอันสำคัญ และ
ขอบคุณลูกศิษย์ นายวสันต์ ถาวร ที่มาช่วยงานวิจัยงานสำเร็จด้วยดี

นอกจากนี้ผู้วิจัยยังได้รับความร่วมมือเป็นอย่างดีจากคณาจารย์ เจ้าหน้าที่ สาขาวิชาพิสิกส์
รวมถึงเพื่อนๆ ของผู้วิจัยที่ให้ความช่วยเหลือและให้ข้อเสนอแนะต่างๆ ที่มีส่วนทำให้การวิจัยสำเร็จ^{ลุล่วงไปได้ด้วยดี} ผู้วิจัยจึงขอขอบคุณมา ณ โอกาสนี้

ผู้วิจัยขอระลึกถึงพระคุณท่านผู้มีพระคุณทั้งหลายของผู้วิจัย คุณบิดามารดาและคุณครูบา
อาจารย์ทุกท่านที่เป็นผู้ประสิทธิ์ประสานความรู้ตลอดมา หากมีข้อบกพร่องประการใด ผู้วิจัยขอน้อมรับ
และมีโอกาสจะทำการปรับปรุงต่อไป

ผู้จัดทำ

กันยายน 2555

สารบัญ

	หน้า
บทคัดย่อ	(1)
Abstract	(2)
กิตติกรรมประกาศ	(3)
สารบัญ	(4)
สารบัญตาราง	(6)
สารบัญภาพ	(7)
บทที่	
1 บทนำ	1
1.1 ความสำคัญและที่มาของปัญหาที่ทำการวิจัย	1
1.2 วัตถุประสงค์ของโครงการวิจัย	2
1.3 ขอบเขตของโครงการวิจัย	2
1.4 ทฤษฎี สมมุติฐาน และกรอบแนวความคิดของโครงการวิจัย	2
1.5 ประโยชน์ที่คาดว่าจะได้รับ	3
2 การทบทวนวรรณกรรม	4
2.1 ความหนึ่ด	4
2.2 พฤติกรรมการไหลของ ของไอลในท่อ	8
2.3 อัตราการไหลของของไอล	15
2.4 การไอลในทรงกระบอก	17
2.5 คลื่นอัลตราโซนิก	20
2.6 อัลตราโซนิกทราบส์คิวเซอร์	22
2.7 กลไกการเกิด Cavitation	23
2.8 การวัดอัตราการไหลของของไอลด้วยคลื่นอัลตราโซนิก	26
3 วิธีดำเนินการวิจัย	30
3.1 วัสดุและอุปกรณ์	30
3.2 วิธีการ	34
3.3 สถานที่ทำการทดลอง/เก็บข้อมูล	41

สารบัญ(ต่อ)

บทที่	หน้า
4 ผลการวิเคราะห์ข้อมูล	42
4.1 ผลการสร้างชุดทดลองการวัดความหนืดของของไอลดี้วายคลีนอัลตราโซนิก	42
4.2 ผลการหาประสิทธิภาพของชุดทดลองการวัดความหนืดของของไอลดี้วายคลีนอัลตราโซนิก	44
5 สรุป อภิปรายผล และข้อเสนอแนะ	53
5.1 สรุป อภิปรายผล	53
5.2 ข้อเสนอแนะ	53
บรรณานุกรม	54
ภาคผนวก	53
ภาคผนวก ก สมการของ Reynolds number	57
ภาคผนวก ข การหาเปอร์เซ็นต์ความคลาดเคลื่อนจากการทดลองวัดความหนืดของน้ำที่อุณหภูมิ 313.15 K	59
ภาคผนวก ค ประวัติผู้รับผิดชอบแผนงานวิจัย	61

สารบัญตาราง

ตารางที่	หน้า
1 ผลการวัดความหนืด η ของน้ำที่อุณหภูมิ 313.5 K ด้วยชุดทดลองการวัดความหนืดของ ของไอลด์คั่ยคลีน อัลตร้าโซนิก จำนวน 50 ครั้ง	46
2 ผลการวัดความหนืด η ของน้ำที่อุณหภูมิ คือ 283.15 K 288.15 K 293.15 K 303.15 K และ 313.15 K ด้วยชุดทดลองการวัดความหนืดของของไอลด์คั่ยคลีนอัลตร้าโซนิก	50

สารบัญภาพ

ภาพที่	หน้า
1 ความหนืดสัมบูรณ์ ๆ ของของไอล	6
2 ความสัมพันธ์ของค่าความเค้นเฉือนต่ออัตราการเสียรูปของของไอลนิวโตเนียน	7
3 ธรรมชาติความเร็วของของไอลภายในท่อ (velocity profile) ณ จุดต่าง ๆ แกนตั้ง คือ เส้นตัดขวางของท่อในแนวตั้งจากจากผิวท่อด้านบนมา�ังผิวท่อด้านล่าง แกนนอน คือความเร็วในการไอลของของไอลในท่อ ณ จุดต่าง ๆ จะเห็นว่าความเร็ว ที่ผิวต้องเป็นศูนย์และเพิ่มขึ้นเมื่อห่างจากผิวท่อไปเรื่อยๆ จุดที่มีความเร็ว สูงสุดคือที่ จุดศูนย์กลางท่อ	8
4 การไอลภายใน stream tube	9
5 ความสัมพันธ์ของความเค้นเฉือนกับอัตราการเสียรูปของของไอลชนิดต่าง ๆ	11
6 ความสัมพันธ์ของการเสียรูปของของไอลเทียบกับเวลา	12
7 แสดงลักษณะการกระจายความเร็วตามแนวยาวของท่อเมื่อไอลแบบราบรื่น	19
8 ส่วนประกอบหลักของพิโซอิเล็กทริกทรานส์คิวเซอร์	23
9 หลักการทำงานของแบบ Counterpropagating	27
10 ช่วงที่คลื่นอัตตราโซนิกเดินทางตามและส่วนกระแทกไอล	27
11 หัวอัตตราโซนิกทรานส์คิวเซอร์ แบบ piezoelectric 40k Hz	30
12 AC-amplifier รุ่น LEYBOLD 416010	31
13 Function generator รุ่น Tektronix AFG 3021B	31
14 ออสซิลโลสโคป รุ่น Tektronix TDS 1012	32
15 นัลติมิเตอร์ รุ่น Extech 410	32
16 ไซต์เตอร์ รุ่น pcospec 105 ขนาด 1,000 วัตต์	33
17 แบบท่อแบบที่ 1	34
18 แบบท่อแบบที่ 2	35
19 วิธีการส่งสัญญาณคลื่นอัตตราโซนิกภายนอกท่อ	36
20 วิธีการส่งสัญญาณคลื่นอัตตราโซนิกภายในท่อ	36
21 ถังพลาสติกต่อกับข้อต่อทรงครึ่งวิถีการเรื่อมพลาสติก	37
22 ท่อน้ำร่างตามแนวราบยึดติดกับแคลมนปี	37
23 หัวอัตตราโซนิกทรานส์คิวเซอร์ 2 หัวติดตั้งอยู่ระหว่างกลางท่อ	38

สารบัญภาพ(ต่อ)

ภาพที่	หน้า
24 การหาค่า t_{down} เมื่อส่งสัญญาณคลื่นอัลตราโซนิกไปตามกระแสการไหลของน้ำ	39
25 การหาค่า t_{up} เมื่อส่งสัญญาณคลื่นอัลตราโซนิกทวนกระแสการไหลของน้ำ	40
26 ภาคการรับสัญญาณเมื่อหัวอัลตราโซนิกทราบสัดวิเชอร์ส่งคลื่นอัลตราโซนิกไปตามกระแสการไหลของน้ำ	43
27 ภาคการรับสัญญาณเมื่อหัวอัลตราโซนิกทราบสัดวิเชอร์ส่งคลื่นอัลตราโซนิกไปทวนกระแสการไหลของน้ำ	43
28 ส่วนประกอบสำคัญของชุดทดลองการวัดความหนืดของของไหลด้วยคลื่นอัลตราโซนิก	44
29 เปอร์เซ็นต์ความคลาดเคลื่อนจากการทดลองวัดความหนืดของน้ำที่อุณหภูมิ 313.15 K จำนวน 50 ครั้ง ของชุดทดลองการวัดความหนืดของของไหลด้วยคลื่นอัลตราโซนิก	49
30 เปรียบเทียบเปอร์เซ็นต์ความคลาดเคลื่อนของชุดทดลองการวัดความหนืดของของไหลด้วยคลื่นอัลตราโซนิกที่ช่วงอุณหภูมิ 283.15 K 288.15 K 293.15 K 303.15 K และ 313.15 K กับค่าความหนืดมาตรฐาน	52

บทที่ 1

บทนำ

1.1 ความสำคัญและที่มาของปัญหาที่ทำการวิจัย

อุตสาหกรรมในประเทศไทยมีความสำคัญในระดับต้นๆ ของประเทศ ได้แก่ อุตสาหกรรมอาหาร และเครื่องดื่ม อุตสาหกรรมยาและเคมีภัณฑ์ และอุตสาหกรรมปิโตรเลียม เป็นต้น โดยอุตสาหกรรมดังกล่าวมักมีการตรวจรับวัตถุคุบหรือควบคุมคุณภาพผลิตภัณฑ์ให้ได้มาตรฐานตามกำหนด อาทิ ความหนืดของน้ำมัน น้ำเชื่อม สารละลายต่างๆ รวมทั้งยาและเคมีภัณฑ์ เพื่อให้ได้วัตถุคุบที่ได้มาตรฐาน มีสิ่งปลอมปนต่างๆ ได้วัตถุคุบตั้งต้นที่มีคุณภาพในการผลิตที่เหมาะสมสมต่อไป

การตรวจสอบคุณภาพโดยการวัดความหนืด เป็นสิ่งที่จำเป็นในหลายอุตสาหกรรม เนื่องจากข้อมูลความหนืดของของเหลว สามารถบอกถึงคุณภาพบางประการของวัตถุคุบ เช่น การวัดความหนืดในน้ำมันเครื่อง ทำให้ผู้ผลิตสามารถเลือกและควบคุมค่าความหนืดที่เหมาะสมกับการหล่อลื่นภายในเครื่องยนต์ เครื่องสำอางมีการจัดทำข้อกำหนดคุณภาพโดยมีความหนืดเป็นเกณฑ์ร่วมอยู่ด้วย (กองควบคุมเครื่องสำอาง, บปจ: อนไลน์) หรือดังที่ Kandpal and Madan (1994) กล่าวว่าในน้ำมันสนับダメียปริมาณกรดไขมันไม่อิ่มตัวในปริมาณสูง คือ มีปริมาณกรดโอลิอิก ร้อยละ 44.8 และกรดไอลิโนเลอิก ร้อยละ 34.0 ซึ่งส่งผลให้ใบโอดิเซลที่ผลิตได้มีความหนืดที่เหมาะสมและมีคุณภาพดี เป็นต้น จะเห็นได้ว่าการวัดความหนืดเข้ามายึดทบทวนสำคัญในการควบคุมคุณภาพผลิตภัณฑ์ในอุตสาหกรรมวงการต่างๆ อย่างหลากหลาย

ในปัจจุบันการวัดความหนืดของของไหลมีอยู่ด้วยกันหลายรูปแบบ โดยความหนืดของของไหลมีความสำคัญสามารถบอกถึงความเสียดทานภายในของไหล การวัดความหนืดของของไหลด้วยคลื่นอัลตราโซนิกก็เป็นอีกทางเลือกหนึ่งในการวัดความหนืด โดยคลื่นอัลตราโซนิก หรือคลื่นเหนือเสียงหรือคลื่นอัลตราโซนิกหรืออัลตราซาวน์ เป็นคลื่นกลที่มีความถี่ 20 kHz - 600 MHz และการเลี้ยวเบนของคลื่นของคลื่นอัลตราโซนิกจะเกิดขึ้นอย่างมาก ซึ่งนิยมนำมาใช้ในการวัดความถึกของตะเกลหรือมหาสมุทร หาตำแหน่งของวัตถุใต้น้ำ อาทิ เรือค้าน้ำ ฝุ่นปลา เป็นต้น (สุชาติ, 2544)

ดังนั้นผู้วิจัยสนใจที่จะนำคลื่นอัลตราโซนิกดังกล่าวมาใช้ประยุกต์ในการวัดความหนืด โดยสร้างและทดสอบประสิทธิภาพชุดทดลองการวัดความหนืดของของไหลด้วยคลื่นอัลตราโซนิก ซึ่งจะเป็นประโยชน์ในการพัฒนาต้นแบบเครื่องวัดความหนืดของของไหลด้วยคลื่นอัลตราโซนิก เพื่อใช้ในการตรวจสอบคุณภาพวัตถุคุบที่เป็นของไหลต่างๆ ในวงการอุตสาหกรรมต่างๆ อาทิ อุตสาหกรรม

อาหารและเครื่องดื่ม อุตสาหกรรมยาและเคมีภัณฑ์ และอุตสาหกรรมปิโตรเลียม เป็นต้น และจะยังเป็นประโยชน์ในการศึกษาและพัฒนาเทคโนโลยีคู่นี้อัลตราโซนิกเพื่อประโยชน์ในการพัฒนาประเทศต่อไป

1.2 วัตถุประสงค์ของโครงการวิจัย

- 1.2.1 เพื่อสร้างชุดทดลองการวัดความหนืดของของไอลด์วายคลีนอัลตราโซนิก
- 1.2.2 เพื่อหาประสิทธิภาพของชุดทดลองการวัดความหนืดของของไอลด์วายคลีนอัลตราโซนิก

1.3 ขอบเขตของโครงการวิจัย

งานวิจัยนี้ มีขอบเขตการศึกษาดังนี้

สร้างชุดทดลองการวัดความหนืดของของไอลด์วายคลีนอัลตราโซนิก

ในการสอบวัดเครื่องมือ ใช้น้ำอุณหภูมิ 313.15 K ใน การสอบวัดค่าความหนืด

การหาประสิทธิภาพของชุดทดลองการวัดความหนืดของของไอลด์วายคลีนอัลตราโซนิกโดยการหาเปอร์เซ็นต์ความคลาดเคลื่อนจากการทดลองวัดความหนืดของน้ำที่อุณหภูมิ 313.15 K แล้วหาความแปร่ย่าง ของชุดทดลองการวัดความหนืดของของไอลด์วายคลีนอัลตราโซนิกโดยหาความหนืดของน้ำที่อุณหภูมิ 313.15 K จำนวน 50 ครั้ง วิเคราะห์ผลทางสถิติค่าความเบี่ยงเบนมาตรฐาน

1.4 ทฤษฎี สมมุติฐาน และกรอบแนวความคิดของโครงการวิจัย

รูปแบบการพัฒนาผู้ทำในของไอล แบบ Newtonian

โดยความหนืดของของไอล หมายถึง อัตราส่วนระหว่างความเค้นเฉือน(shear stress)ของของไอลกับอัตราการเปลี่ยนแปลงของความเครียดเฉือน(shear rate)ของของไอล ในท่อของของไอล(Wang และคณะ,2004) สำหรับการ ไอลของของไอลซึ่งจะพิจารณาการ ไอลแบบรวมเรียบ(Laminar Flow) ดังนี้

$$\eta(r) = \frac{\sigma(r)}{\dot{\gamma}(r)} \quad (1)$$

เมื่อ $\sigma(r)$ และ $\dot{\gamma}(r)$ คือความเค้นเฉือนและความเครียดเฉือนซึ่งอยู่ที่ตำแหน่งของท่อรัศมี r ของของไอลตามลำดับ ตัวนความเครียดเฉือนพิจารณาในเทอมของ velocity gradient คือ

$$\dot{\gamma}(r) = \left| \frac{dv_z(r)}{dr} \right| \quad (2)$$

และความเค้นเนื่องคือ

$$\sigma(r) = \frac{\Delta P}{2L} r \quad (3)$$

เมื่อ ΔP คือผลต่างของความดันที่ปลายห่อซิ่งห่อ มีความยาว L

$$\frac{1}{r} \frac{d}{dr} \left\{ r \left[-\mu \frac{dv_z(r)}{dr} \right] \right\} = \frac{\Delta P}{L} \quad (4)$$

โดยกำหนดเงื่อนไขขอบเขตดังนี้

$$\text{BC1: } r = R; \quad v_z = 0 \quad (5)$$

$$\text{BC2: } r = 0; \quad \frac{dv_z}{dr} = 0 \quad (6)$$

จากสมการที่ (4) ผลเฉลยคือ

$$v_z = \frac{(\Delta P)R^2}{4\eta L} \left[1 - \left(\frac{r}{R} \right)^2 \right] \quad (7)$$

เมื่อ R คือ รัศมีของห่อ

1.5 ประโยชน์ที่คาดว่าจะได้รับ

1.5.1 จดสิทธิบัตรเครื่องวัดความหนืดของของไหลดด้วยคลื่นอัลตราโซนิก

1.5.2 เมยแพร์ในวารสารทางด้านฟิสิกส์

1.5.3 หน่วยงานที่นำผลงานวิจัยไปใช้ประโยชน์

1.5.3.1 อุตสาหกรรมอาหารและเครื่องดื่ม

1.5.3.2 อุตสาหกรรมปิโตรเลียม

1.5.3.3 อุตสาหกรรมยาและเคมีภัณฑ์

บทที่ 2

การทบทวนวรรณกรรม

2.1 ความหนืด

Young and Freedman (2000) กล่าวว่า ความหนืดเป็นความเสียดทานภายในของของไหล แรงจากความหนืดจะต้านการเคลื่อนที่ของชั้นของไหลที่มีการเคลื่อนที่สัมพัทธ์กับชั้นของของไหล อื่น ๆ ของไหลที่อยู่ในท่อชั้นของไหลที่สัมผัสกับผิวของแม่น้ำและแม่น้ำที่จะยึดติดกับผิวของแม่น้ำและบริเวณใกล้ผิวสัมผัสจะเกิดชั้นขอบเขตบางๆ ของของไหลโดยของไหลในชั้นขอบเขตบางๆ นี้แทนจะหยุดนิ่งเมื่อเทียบกับผิวสัมผัส ดังนั้นความหนืดของของไหลหมายถึงอัตราส่วนระหว่างความเดินเรื่องในของไหลกับอัตราการเปลี่ยนแปลงของความเครียดเนื่องในของไหลดังนี้

$$\eta = \frac{F/A}{v/l} \quad (8)$$

หน่วย SI ของความหนืด คือ $N.s/m^2$ หรือ Pa.s แต่หน่วยของความหนืดนิยมใช้กันโดยทั่วไปคือ poise โดยที่

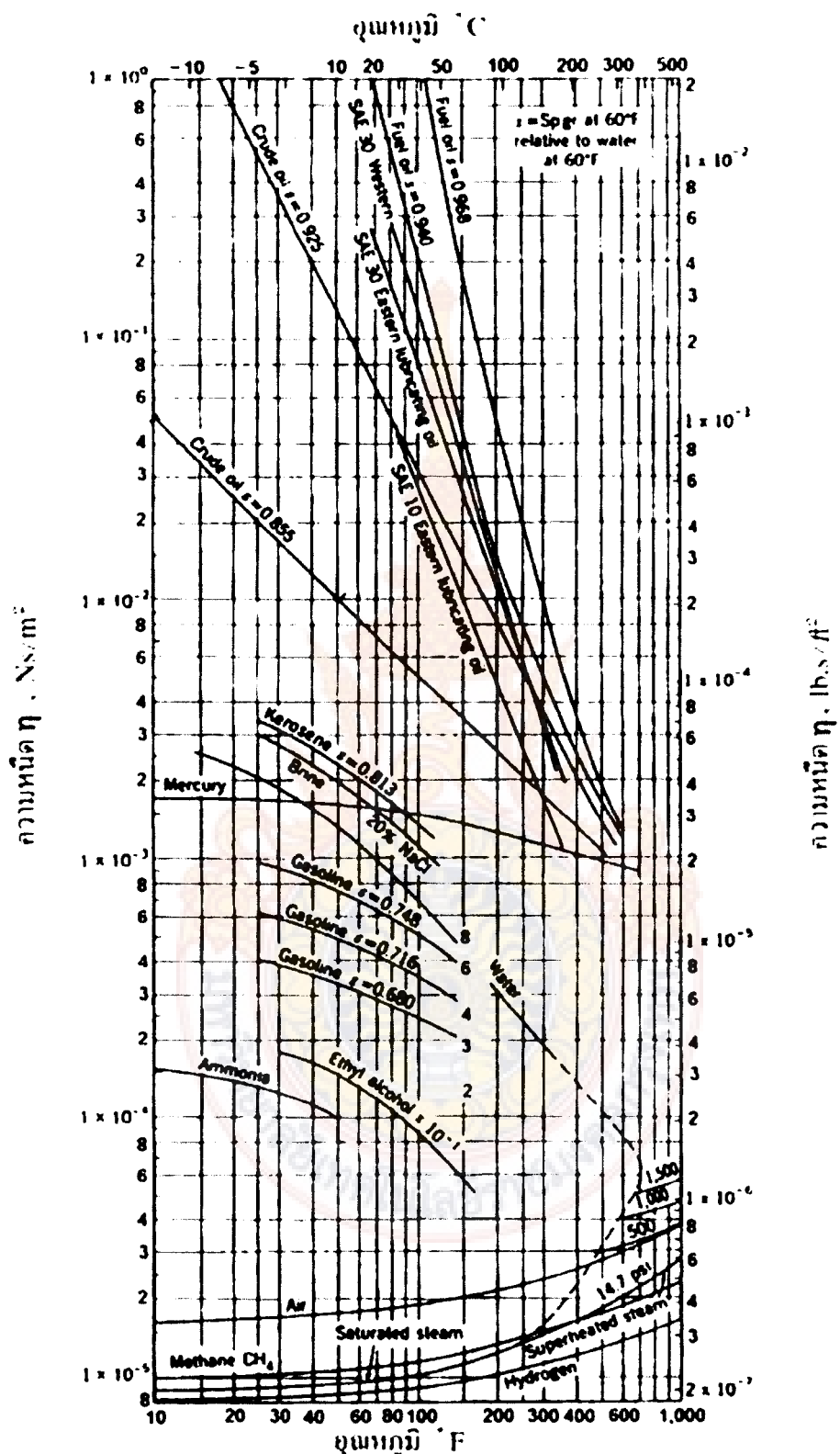
$$1 \text{ poise} = 1 \text{ dyn.s/cm}^2 = 0.1 \text{ N.s/m}^2$$

ในบรรดาคุณสมบัติทั้งหลายของของไหลนี้ ความหนืดนับว่าเป็นคุณสมบัติที่ให้คำนิยามได้ยากที่สุด เพราะคุณสมบัติอื่น ๆ ส่วนใหญ่เป็นคุณสมบัติเชิงฟิสิกส์ หรือเชิงอุณหพลศาสตร์ ซึ่งไม่เกี่ยวข้องกับการไหล แต่ความหนืดเป็นคุณสมบัติที่เรียกว่า “คุณสมบัติเชิงการส่งถ่าย” (transport property) ซึ่งจะแสดงตัวเฉพาะเมื่อมีการไหลตัวเท่านั้น ดังนั้น คำนิยามของความหนืดจึงต้องมีการไหลตัวของของไหลเข้ามาเกี่ยวข้องด้วย

ผู้ศึกษาส่วนใหญ่สามารถจินตนาการได้ว่า น้ำมันเครื่องรถยนต์หรือรถมอเตอร์ไซค์มีความข้น และมีความหนืดมากกว่าน้ำ และหากมีการหยดตัวออกจากกรุรุ่วที่ก้นถังที่มีขนาดเดียวกัน น้ำมันเครื่องจะหยดได้ช้ากว่าการหยดของน้ำ ที่เป็นเห็นนี้ เพราะมีแรงต้านทานการไหลของของไหลที่มีความหนืด ยิ่งมี

ความหนืดมากก็ยิ่งมีแรงต้านการไหลมาก แรงต้านนี้คือแรงเฉือน (shear force) ที่เกิดขึ้นในแนวขานาน (แต่ทิศทางตรงกันข้าม) กับแนวการไหล (ทวิช, 2548)

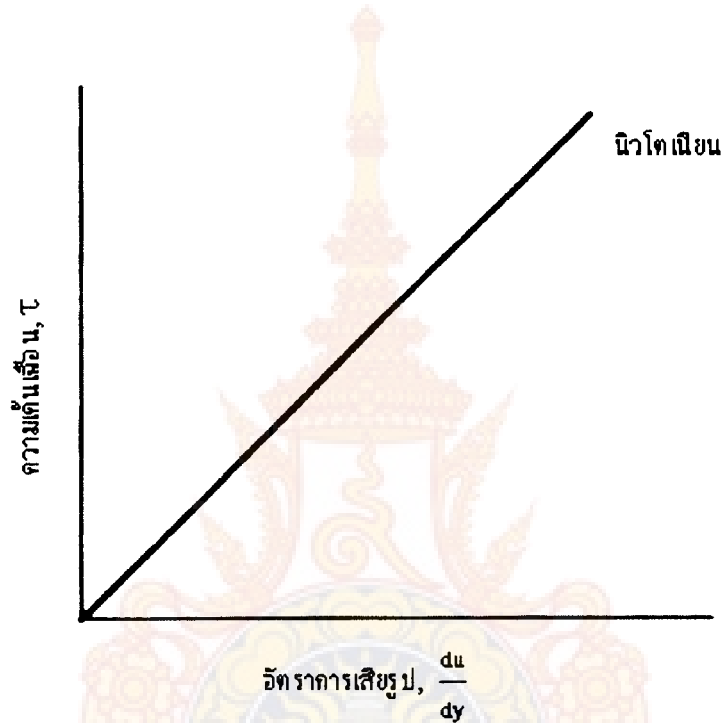
ความหนืดของของไหลเป็นค่าความต้านทานต่อแรงเฉือน หรือเป็นค่าความต้านทานต่อการเปลี่ยนรูปเชิงมุม (angular deformation) แรงเดียดทานในของไหลที่กำลังเคลื่อนที่อยู่นั้นเป็นผลมาจากการแรงกระแทกในระหว่างโมเลกุลและการแตกเปลี่ยนโมเมนตัมในระหว่างโมเลกุลของของไหล ในภาพที่ 1 เป็นค่าความหนืดของของไหลบางชนิด จากราฟจะเห็นได้ว่าในขณะที่อุณหภูมิเพิ่มสูงขึ้นนั้นความหนืดของของเหลวทุกชนิดจะลดน้อยลง ส่วนความหนืดของแก๊สทุกชนิดกลับเพิ่มมากขึ้น ทั้งนี้ เพราะแรงกระแทกในระหว่างโมเลกุลที่หายไปนั้นเป็นลักษณะเด่นของของเหลว ส่วนแก๊สนั้นลักษณะเด่นเกิดมาจากการแตกเปลี่ยนโมเลกุลในระหว่างชั้นของของไหลที่มีความเร็วแตกต่างกัน โมเลกุลที่อยู่ในชั้นของไหลที่เร็วกว่าจะย้ายไปอยู่ในชั้นของไหลที่ช้ากว่า และไปทำให้ของไหลชั้นที่ช้ากว่านั้นเคลื่อนที่เร็วขึ้น ส่วนโมเลกุลจากชั้นที่ช้ากว่าก็จะย้ายไปอยู่ในชั้นที่เร็วกว่า และไปหน่วงให้ชั้นที่เร็วกว่านั้นเคลื่อนที่ช้าลง การแตกเปลี่ยนโมเลกุล เช่นนี้ทำให้เกิดแรงเฉือนขึ้น หรือทำให้เกิดแรงเสียดทานขึ้นในระหว่างชั้นที่อยู่ติดกันนั้น ดังนั้น การเคลื่อนไหวของโมเลกุลแก๊สที่เพิ่มมากขึ้นเมื่ออุณหภูมิสูง ๆ จึงเป็นสาเหตุที่ทำให้แก๊สมีความหนืดสูงขึ้น (สุนันท์, 2548)



ภาพที่ 1 ความหนืดสัมบูรณ์ ก. ของของไหล

ที่มา: สุนันท์ (2548)

หากนำค่าความเด่นนีอันที่กระทำต่อของไอลมาเขียนกับค่าอัตราการเสียรูปเชิงมุมของของไอล (ซึ่งมีค่าเท่ากับค่าความชันของความเร็วต่อระบบห่าง (du / dy)) และความสัมพันธ์ของค่าความเด่นนีอัน กับค่าอัตราการเสียรูปนั้นมีลักษณะเป็นเชิงเส้นดังที่แสดงในภาพที่ 2 ของไอลที่มีพฤติกรรมดังกล่าวนี้ จะถูกเรียกว่าของไอลนิวตันเนียน (Newtonian fluid) (สมศักดิ์, 2552)



ภาพที่ 2 ความสัมพันธ์ของค่าความเด่นนีอันต่ออัตราการเสียรูปของของไอลนิวตันเนียน

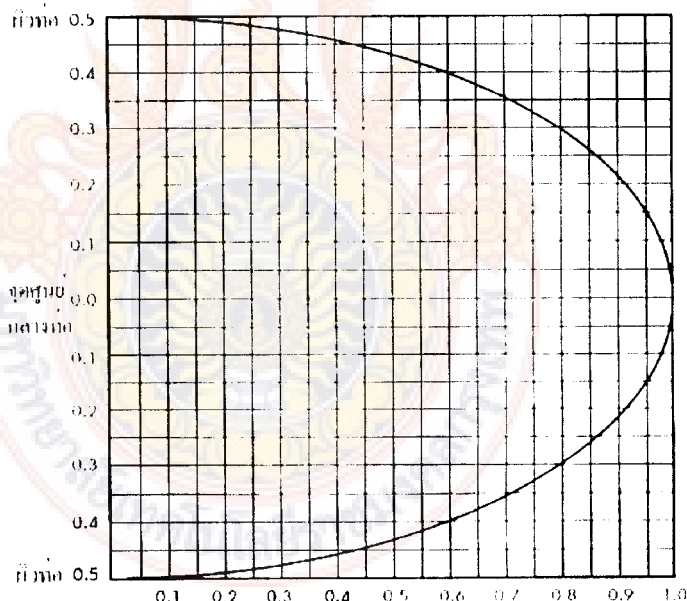
ที่มา: สมศักดิ์ (2552)

ค่าความชันจากภาพที่ 2 จะบอกถึงความสามารถในการต้านทานการเสียรูป ในของไอลที่มีเส้น ความชันดังกล่าวอยู่ จะหมายความว่าของไอลดังกล่าวมีอัตราการเสียรูปค่อนข้างมากภายใต้การ กระทำของความเด่นนีอันที่มีค่าต่ำ ในขณะที่ถ้ากราฟเส้นตรงของของไอลที่พิจารณา มีค่าความชันสูง จะหมายความว่าจะต้องให้ค่าความเด่นนีอันมากในการจะทำให้เกิดค่าการเสียรูปที่มีขนาด ไม่มากนัก นั่นก็คือ ของไอลที่มีความชันน้อยก็จะหนืดน้อยกว่า

จะเห็นได้ว่า ค่าความหนืดเป็นคุณสมบัติเฉพาะอย่างหนึ่งของของไอลที่จะมีผลต่อความด้านท่านของการเดียรูป และค่าความหนืดนี้คือจะเป็นคุณสมบัติเชิงเทอร์โน ไดนามิกส์ของของไอลซึ่งเปรียบตามค่าความดันและอุณหภูมิ แต่จากการทดลองจะพบว่าค่าความหนืดของของไอลจะเปลี่ยนแปลงค่าอย่างช้ามากเมื่อเปรียบค่าความดันไป ในขณะที่ค่าความหนืดจะเปรียบค่าค่อนข้างมากเมื่อเปรียบอุณหภูมิดังนั้นจึงกล่าวได้ว่าค่าความหนืดของของไอลเป็นฟังก์ชันอย่างอ่อน (weak function) กับค่าความดัน ในขณะที่เป็นฟังก์ชันอย่างมาก (strong function) กับอุณหภูมิ (สมศักดิ์, 2552)

2.2 พฤติกรรมการไหลของ ของไอลในท่อ

พฤติกรรมการไหลของ ของไอล เป็นความรู้ทั่วไปที่ต้องทราบไว้เพื่อใช้พิจารณาในการติดตั้งเพื่อให้ได้ผลการวัดที่ดี



ภาพที่ 3 ธรรมชาติความเร็วของของไอลภายในท่อ (velocity profile) ณ จุดค่าง ๆ

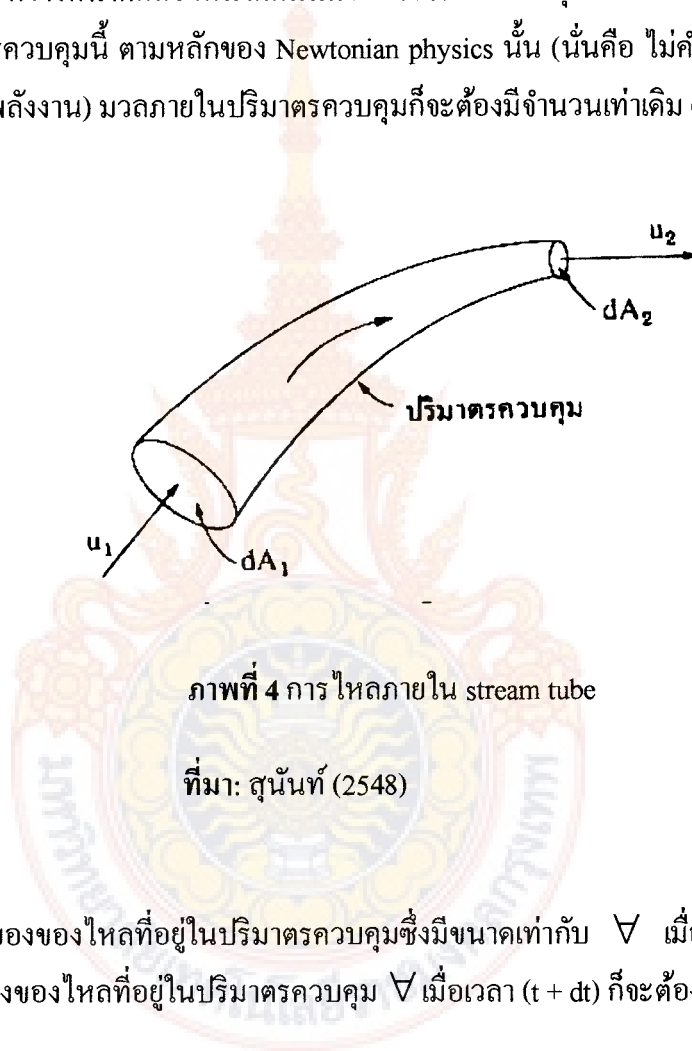
แกนตั้ง คือเส้นตัดขาวงของท่อในแนวตั้งจากผิวท่อด้านบนมา�ังผิวท่อด้านล่าง

แกนนอน คือความเร็วในการไหลของของไอลในท่อ ณ จุดค่าง ๆ

จะเห็นว่าความเร็วที่ผิวต้องเป็นศูนย์และเพิ่มขึ้นเมื่อห่างจากผิวท่อไปเรื่อยๆ จุดที่มีความเร็วสูงสุดคือที่จุดศูนย์กลางท่อ

ที่มา: สมศักดิ์ (2540)

ภาพที่ 4 เป็นภาพที่เกิดจากการลืมรูปของเส้นสตรีมไลน์กู้มหนึ่ง เรียกท่อตั้งกล่าวว่านี้ว่า stream tube เนื่องจากทุก ๆ ด้านของ stream tube นี้ถูกลืมรูปด้วยเส้นสตรีมไลน์ และด้วยเหตุที่ไม่มีความเร็วสูงซึ่งอยู่ในทิศทางที่ตั้งฉากกับเส้นสตรีมไลน์ ดังนั้นจึงไม่มีของไหลหลุดออกจากผิวของ stream tube นี้ ยกเว้นเฉพาะที่ปลายทั้งสองของ stream tube นี้เท่านั้น ปริมาตรภายใน stream tube ที่มีขนาดคงที่ซึ่งอยู่ในระหว่างหน้าตัดสองหน้าตัดนี้เรียกว่าปริมาตรควบคุม และจะใช้ ∇ เป็นตัวแสดงถึงขนาดของปริมาตรควบคุมนี้ ตามหลักของ Newtonian physics นั้น (นั่นคือ ไม่คำนึงถึงความสามารถที่จะเปลี่ยนมวลเป็นพลังงาน) มวลภายในปริมาตรควบคุมก็จะต้องมีจำนวนเท่าเดิม (สูนันท์, 2548)



ภาพที่ 4 การไหลภายใน stream tube

ที่มา: สูนันท์ (2548)

ถ้าหากมวลของของไหลที่อยู่ในปริมาตรควบคุมซึ่งมีขนาดเท่ากับ ∇ เมื่อเวลา t มีค่าเท่ากับ $(mass)_t$, แล้วมวลของของไหลที่อยู่ในปริมาตรควบคุม ∇ เมื่อเวลา $(t + dt)$ ก็จะต้องมีค่าเป็น

$$(mass)_{t+dt} = (mass)_t + (\rho_1 u_1 dA_1) dt - (\rho_2 u_2 dA_2) dt$$

แต่มวลที่อยู่ในปริมาตรควบคุม ∇ เมื่อเวลา $(t + dt)$ นี้สามารถเขียนในอีกลักษณะหนึ่งได้ว่า

$$(mass)_{t+dt} = (mass)_t + \frac{\partial \rho}{\partial t} \cdot dt. \nabla$$

เมื่อ $\partial\rho/\partial t$ เป็นอัตราการเปลี่ยนแปลงความหนาแน่นของไอล $(mass)_{t+dt}$ ของสมการข้างต้นทั้งสองมาเท่ากันแล้วก็จะได้ ฉะนั้นเมื่อนำเข้าค่า

$$\begin{aligned} (\rho_1 u_1 dA_1) dt - (\rho_2 u_2 dA_2) dt &= \frac{\partial \rho}{\partial t} \cdot dt \quad \forall \\ \text{และ} \quad \rho_1 \int_{A_1} u_1 \cdot dA &= \rho_2 \int_{A_2} u_2 \cdot dA = \int_{\forall} \frac{\partial \rho}{\partial t} \end{aligned} \quad (9)$$

สมการดังกล่าวเป็นสมการการไอลต่อเนื่องสำหรับการไอลในขอบเขตที่มีขนาดตามตัวซึ่งมี ใจความว่าอัตราสูตรของมวลที่ไอลเข้าไปในปริมาตรควบคุม จะเท่ากับอัตราของมวลที่เพิ่มขึ้นใน ปริมาตรควบคุมนั้น สมการที่ (9) นี้สามารถลดรูปลงให้เหมาะสมกับการใช้งานของแต่ละกรณี เช่น ในกรณีที่เป็น steady flow ซึ่งมีค่า $\partial\rho/\partial t = 0$ นั้นสมการที่ (9) จะลดรูปเป็น

$$\rho_1 \int_{A_1} u_1 \cdot dA = \rho_2 \int_{A_2} u_2 \cdot dA \quad (10a)$$

$$\text{หรือ} \quad \rho_1 A_1 V_1 = \rho_2 A_2 V_2 = m \quad (10a)$$

$$\text{หรือ} \quad \gamma_1 A_1 V_1 = \gamma_2 A_2 V_2 = G \quad (10b)$$

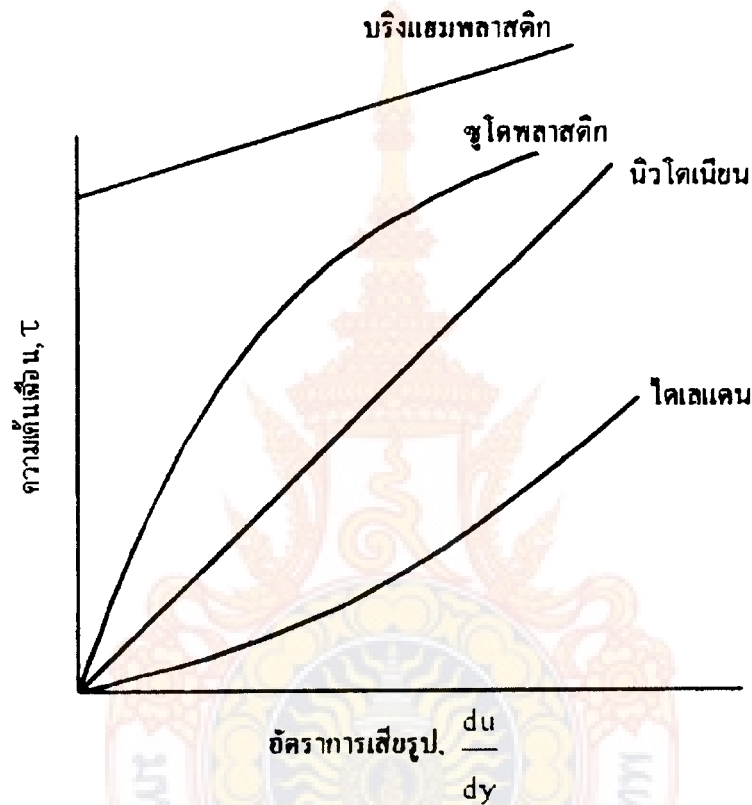
ถ้าเป็น steady flow และของไอลนั้นอัดตัวไม่ได้ (incompressible) ซึ่งจะมีค่า ρ คงที่นั้น สมการที่ (9) จะลดรูปเป็น

$$\int_{A_1} u_1 \cdot dA = \int_{A_2} u_2 \cdot dA$$

$$\text{หรือ} \quad A_1 V_1 = A_2 V_2 = Q \quad (11)$$

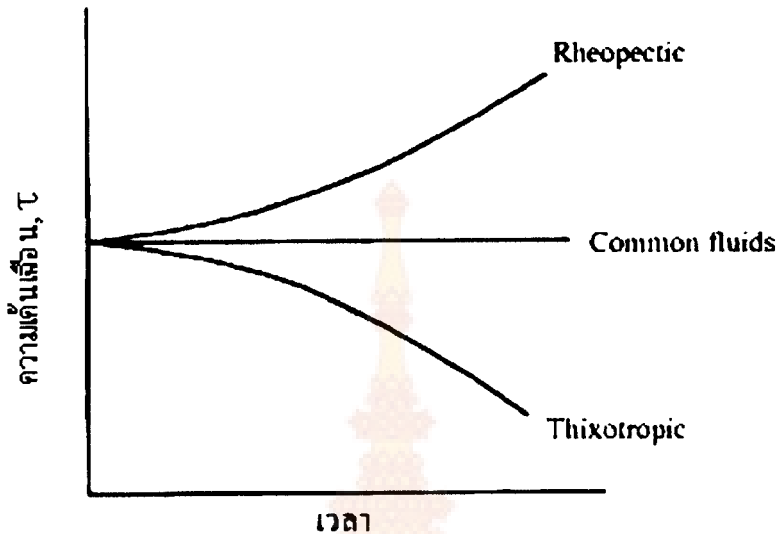
สมการเหล่านี้เป็นสมการการไอลต่อเนื่องที่สำหรับใช้กับของไอลที่อัดตัวไม่ได้ ทั้งการไอล แบบ steady flow และ unsteady flow ภายในขอบเขตที่ติดตัว (สูนันท์, 2548)

สำหรับของไอลที่มีพฤติกรรมของอัตราการเสียรูป กับค่าความเค้นเนื้อนที่กระทำเป็นลักษณะที่ไม่เป็นเส้นตรงจากจุดตัดของแกน จะเรียกของไอลดังกล่าวว่าของไอลแบบไม่เป็นนิวตันเนียน (non newtonian fluid) ซึ่งของไอลดังกล่าวจะมีพฤติกรรมดังที่แสดงไว้ในภาพที่ 5 และ 6 (สมศักดิ์, 2552)



ภาพที่ 5 ความสัมพันธ์ของความเค้นเนื้อกับอัตราการเสียรูปของของไอลชนิดต่าง ๆ

ที่มา: สมศักดิ์ (2552)



ภาพที่ 6 ความสัมพันธ์ของการเสียรูปของไอลทีบกับเวลา

ที่มา: สมศักดิ์ (2552)

ภาพที่ 6 แสดงถึงพฤติกรรมของการอัตราการเสียรูปที่เปรียบเทียบกับความเร็วเคลื่อนที่กระทำซึ่งอาจแบ่งเป็น ของไอลแบบ ไดเลตตัน (dilatants) ของไอลแบบชูโดพลาสติก (pseudoplastic) และของไอลแบบบิงแฮมพลาสติก (Binghamplastic) ซึ่งจะแตกต่างจากการของไอลแบบนิวนิวโตรีเยนซึ่งแสดงไว้ในรูปด้วยเพื่อเป็นการเปรียบเทียบ

ของไอลแบบ ไดเลตตัน (dilatants) จะเป็นของไอลที่หนืดมากขึ้นตามแรงเร่งเคลื่อนที่มากกระทำ บางที่จะเรียกของไอลแบบ ไดเลตตันว่า ของไอลขึ้นขึ้นจากการเฉือน (shear thickening fluid) ตัวอย่างของของไอลแบบ ไดเลตตัน ได้แก่ ทรายเปียก (ที่อยู่ในหล่นทรายดูด) และแป้งข้าวโพดเปียก เป็นต้น

ของไอลแบบชูโดพลาสติก (pseudoplastic) จะเป็นของไอลที่จะหนืดน้อยลงหากแรงเร่งเคลื่อนที่มากกระทำมีค่ามากขึ้น บางที่จะเรียกของไอลแบบชูโดพลาสติกว่า ของไอลขึ้นน้อยลงจากการเฉือน (shear thinning fluid) ตัวอย่างของของไอลแบบชูโดพลาสติก ได้แก่ สีทาบ้าน และ สารพลาสติกเหลว เป็นต้น สีทาบ้านจะติดอยู่กับตัวแปรร่วมไม่หลุดลงเนื่องจากแรงโน้มถ่วงที่มากกระทำต่อสีก่อให้เกิดแรงเร่งเคลื่อนที่น้อย

แต่เมื่อนำไปประทุมสีที่ทางบันสนัง สีจะถูกแรงเร่งที่กระทำต่อสีบนสนังสูงมาก ขึ้น ตัวสีจะมีความหนืดคล่องทำให้ตัวสีสามารถกระจำยตัวเป็นชั้นบางเคลื่อนยุบสนังได้โดยง่าย

ของไอลแบบบิงแชนพลาสติก (Binghamplastic) จะเป็นของไอลที่ตอนเริ่มนั่นจะมีลักษณะเป็นของแข็ง และเมื่อออกแรงเรือนมากกระทำจนมีค่าเกินกว่าค่า yield ของไอลจะเริ่มไอลตัวอย่างของของไอลแบบบิงแชนพลาสติกจะได้แก่ ยาสีฟัน น้ำยาล้างจาน และซอสมะเขือเทศในขวด เป็นต้น (สมศักดิ์, 2552)

2.2.1 การไอลแบบราบเรียบ (Laminar Flow)

การไอลแบบราบเรียบมีลักษณะการไอลจะเป็นไปอย่างน้ำหนาเรียบ ชั้นของ ของไอลจะขนานกันไปตลอด การไอลในลักษณะนี้จะเกิดจากของไอล นั้นมีความเหนียวข้นมาก เช่น กดีเชอร์ริน น้ำมันเตา ญี่ปุ่นของสารเหล่านี้จะตัวกันแน่นหรืออัตราการไอลมีค่าต่ำมากๆ

ในการวัด การไอลโดยทั่วๆ ไป ส่วนใหญ่จะไม่พบรการไอลแบบราบเรียบ นี้ คือ ข้อดีของ การไอลแบบราบเรียบ คือ ให้ Rangeability ดีกว่าแบบ Turbulent มากในเครื่องวัดการไอลแบบ Turbulent ค่าอัตราการไอลการไอลจะแปรผันกับความดันดิฟเพอร์เซยลกำลังสอง ซึ่งจะให้ Rangeability ประมาณ 5:1 เป็นอย่างสูง แต่ในการไอลแบบราบเรียบ ความสัมพันธ์ระหว่างค่า การไอล กับความดันดิฟเพอร์เซยลจะเป็นไปในแบบเชิงเส้น (Linear) ทำให้ได้ค่า Rangeability ได้ถึง 100:1 และให้ความถูกต้องดีตลอดย่าน ผิดกับแบบ Turbulent ที่ให้ความถูกต้องดีเฉพาะ Flow ย่านสูง ๆ แต่ ย่านต่ำ ๆ จะมีค่าผิดพลาดสูง

การแบ่งย่าน การไอลแบบราบเรียบ กับ Turbulent Flow พิจารณาที่ค่า Reynolds number สำคัญ R_e จาก 0 ถึง 2000 เป็นย่านการไอลแบบราบเรียบ

แต่ช่วง R_e 2000 ถึง 4000 จะเป็นย่านวิกฤติ (Critical Zone) ซึ่งมีการไอลทั้งสองแบบผสมกัน (สมศักดิ์, 2540)

2.2.2 ค่าเลขเรโนลต์ (Reynold number)

Osborne Reynold วิศวกรชาวอังกฤษ (เป็นผู้มีชื่อเสียงในวงการกลศาสตร์ของไทย) ได้ออกสรุปจากการทดลองการไหลในท่อกรณีว่า ของไหลเปลี่ยนสภาพจากการไหลแบบราบเรียบ เป็นการไหลแบบปั่นป่วน เมื่อค่าตัวเลข $\rho DV / \eta$ มีค่าใหญ่เกินกว่าค่าวิกฤตค่าหนึ่ง ละค่าเลขวิกฤตนี้ เท่ากันเสมอ ไม่ว่าขนาดท่อจะใหญ่หรือเล็กเท่าใดก็ตาม หรือของไหลจะมีความหนาแน่นหรือความหนืดมากน้อยเพียงใดก็ตาม ซึ่งทำให้เกิดปัญหาการตีความว่าค่าเลขนี้ (ซึ่งได้ตั้งให้เป็นเกียรติแก่ผู้ค้นพบว่า ค่าเลขเรโนลต์) มีนัยสำคัญอย่างไร เพราะเป็นตัวแปรในการทำการทดลองหรือการศึกษาใดๆ ในทางกลศาสตร์ของไหลเสมอ ประกอบกับความจริงที่ว่าการไหลในการใช้งานจริงที่ว่าการ ไหลในการใช้งานจริงนั้น ส่วนใหญ่จะเป็นการ ไหลแบบปั่นป่วนเสมอ (ทวิช, 2548)

ดังนั้นในการทำการคำนวณหาการวัดความหนืด โดยใช้หน่วยคุณลักษณะและใช้ ρ, D, V หรือ $(\rho, D.V)$ เป็นตัวแปรพื้นฐานในการสร้างหน่วยวัดคุณลักษณะแล้วนั้น ได้พบว่าการวัดค่าความหนืด โดยทอนค่า ρLV (ซึ่งเป็นหน่วยวัดคุณลักษณะของความหนืดนั้นเอง) ดังนั้นเราจึงวัดค่าตัวเลข $\eta / \rho LV$ หรือหากเราจะวัดสัดส่วนกับของค่าเลขนี้ก็ย่อมได้ เพราะหากเราทราบค่าตัวหนึ่งก็จะทราบอีกค่าตัวหนึ่งเนื่องจากเป็นการทดลองประทับแบบหนึ่งต่อหนึ่ง (one to one correspondence) ค่าส่วนกลับนี้ ($\rho DV / \eta$) เรียกกันว่า “ค่าเลขเรโนลต์” (ซึ่งมักนิยมใช้สัญลักษณ์ R_e) ซึ่งกล่าวได้ว่า เป็นค่าเลขส่วนกลับของค่าความหนืด (ที่วัดด้วยหน่วยคุณลักษณะ) ดังนั้นค่านี้จะมีค่าสูงเมื่อความหนืด คุณลักษณะมีค่าต่ำ และมีค่าต่ำเมื่อความหนืดคุณลักษณะมีค่าสูง การที่ความหนืดคุณลักษณะมีค่าสูงก็แสดงว่ามีการดำเนินการ ไหลสูง เพราะ โดยปกติของ ไหลที่มีความหนืดสูงกว่า เช่น การ ไหลย่อม ไหล ได้อยากกว่าของ ไหลที่มีความหนืดน้อยกว่า เช่น น้ำ ถ้าการ ไหลจะออกนอกลู่นออกทางก็จะถูกต้านด้วยแรงเสียดทานสูง ทำให้การ ไหลกลับมาอยู่ในลู่ทางดังเดิม (แรงเสียดทานคุณลักษณะขึ้นอยู่กับค่าความหนืดคุณลักษณะ) ดังนั้นการ ไหลจึงมีระเบียบราบเรียบ (เพราะออกนอกลู่นออกทางได้ลำบาก) ซึ่งเรียกนว่า การ ไหลแบบราบเรียบ (laminar flow) แต่หากความหนืดคุณลักษณะมีค่าต่ำ (ค่าเลขเรโนลต์สูง) แรงฉุดการ ไหลและแรงต้านทานการออกนอกลู่นออกทางการ ไหลจะมีน้อย ของ ไหลจึงสามารถออกนอกลู่นออกทางได้โดยง่าย การ ไหลก็กลายเป็นการ ไหลแบบปั่นป่วน (turbulent flow) ในทางปฏิบัติและจากที่ยืนยันจาก การทดลองในการ ไหลในรูปแบบหนึ่งจะมีค่าเลขเรโนลต์วิกฤตค่าหนึ่ง ซึ่งหากค่าเลขในการ ไหลจริงต่ำ

ว่ามีสิ่งที่จะเป็นการไหลแบบรูบเรียง แต่หากค่าเดาสูงกว่านี้จะเป็นการไหลแบบปั่นป่วน (แต่เป็นค่าเดาโดยประมาณ และขึ้นอยู่กับคุณลักษณะประกอบอื่น ๆ ด้วย) เช่น ในรูปแบบของการไหลในท่อ ค่าวิกฤตจะอยู่ที่ประมาณ 2,300 และการวัด R_e ใช้เส้นผ่านศูนย์กลางเป็นความยาวคุณลักษณะ และมักนิยมเขียนค่าเลขโอนลดครึ่ง ให้ R_{e_x} ส่วนในการไหลบนแผ่นราบจะมีค่าเลขเรอนลดครึ่งประมาณ 500,000 และมักนิยมเขียนค่าเดาโอนลดครึ่ง ให้ R_{e_x} เพราะใช้ระยะทาง ที่วัดจากขอบนำ (Leading edge) เป็นความยาวคุณลักษณะ (ทวิช, 2548)

พบว่าตัวคัดชนีชี้บ่งบอกสภาพการไหลขึ้นอยู่กับความเร็วในการไหล ความหนืดขนาดเส้นผ่านศูนย์กลางของท่อ และค่าความหนาแน่นของ ของไหล (สมศักดิ์, 2540)

ถ้ากำหนดให้

ρ คือ ค่าความหนาแน่นของ Fluid

V คือ ความเร็วในการไหล

D คือ ขนาดเส้นผ่านศูนย์กลางของท่อ

η คือ ค่าความหนืดของของไหล

และ R_e คือ ค่า Reynolds number จะได้

$$R_e = \frac{VD\rho}{\eta} \quad (22)$$

R_e เป็นค่าดัชนีไม่มีหน่วย (dimensionless)

2.3 อัตราการไหลของของไหล

หากมีเว้นขยายอย่างดีที่สามารถส่องดูโมเลกุลของของไหลได้ (เช่น อากาศ และน้ำ) จะเห็นโมเลกุลจำนวนมหาศาลวิ่งพล่าน ไปมาอยู่ตลอดเวลา โมเลกุลตัวหนึ่งอาจจะกำลังวิ่งไปในทิศทางหนึ่ง ด้วยความเร็วอันหนึ่ง แต่สักประเดียว ก็จะวิ่งไปชนโมเลกุลที่รายล้อมอยู่ ๆ (ซึ่งต่างก็กำลังเคลื่อนที่ไปด้วยความเร็วและทิศทางหนึ่งด้วยกันทั้งสิ้น) ระยะทางเฉลี่ยที่โมเลกุลวิ่งไปก่อนที่จะไปชนกับโมเลกุล

ข้างเคียงนี้เรียกว่า ระยะทางอิสระเฉลี่ย (mean free path) ซึ่งนิยมให้สัญลักษณ์เป็น λ ค่า λ จึงเปรียบเสมือนระยะห่างระหว่างโมเลกุล ในบรรยากาศปกติระยะห่างนี้มีขนาดระดับ 0.1 ไมครอน (หนึ่งในหมื่นของหนึ่งมิลลิเมตร) เท่านั้น และเนื่องจากอุปกรณ์ทางวิศวกรรม เช่น รถยนต์ ระบบอุกสูน ปั๊มน้ำ เครื่องบิน ปีกังหันเทอร์โบน์ เป็นต้น มีขนาดใหญ่ระดับ 10 เซนติเมตร ขึ้นไป อุปกรณ์เหล่านี้จึงใหญ่มากเมื่อเทียบกับระยะห่างระหว่างโมเลกุล จนอาจถือเสมือนว่าอากาศ (หรือของไหหล่อใน) ที่ไหหล่อผ่านอุปกรณ์เหล่านี้มีระยะห่างระหว่างโมเลกุลเป็นศูนย์ หรืออีกนัยหนึ่งเป็นเนื้อดียกันอย่างต่อเนื่อง โดยไม่มีลักษณะของความเป็นเม็ดโมเลกุลหรือมีช่องว่างระหว่างโมเลกุลเลย เหตุที่ต้องนำประเด็นนี้มาพิจารณา ก็ เพราะว่าในการศึกษาผลศาสตร์ของไหหล่อทฤษฎีนี้เราจะต้องหาค่าอนุพันธ์ (derivative) ของพจน์ต่าง ๆ เช่น เช่น $\partial p / \partial x$ เมื่อ p เป็นความหนาแน่น และ x คือระยะทาง จะเห็นว่าในทางทฤษฎีนี้ต้องให้ x เข้าหาศูนย์จึงจะได้ออนุพันธ์ แต่หากให้เป็นจริงดังนี้จะเห็นว่า เมื่อตอนที่ x ผ่านเม็ดโมเลกุล ค่าอนุพันธ์ก็จะมีค่าสูงมาก แต่เมื่อ x อยู่ระหว่างช่องว่างระหว่างโมเลกุลค่าอนุพันธ์ก็จะมีค่าเป็นศูนย์ (เพราะตรงนี้เป็นช่องว่างที่ไม่มีเนื้อโมเลกุลเลย) หากเป็นดังนี้การศึกษาการไหหล่อจะทำได้ยากมาก (ทวิช, 2548)

ของไหหล่อในการเป็นของไหหล่อที่ไม่มีความเสียดทาน หรือไม่มีความหนืด (viscosity) นั่นเอง ดังนั้นถึงแม้ว่าของไหหลอนั้นจะกำลังเคลื่อนที่กีตาม แรงที่กระทำกับพื้นที่หน้าตัดใด ๆ จึงกระทำตั้งฉากกับพื้นที่หน้าตัดนั้น ฉะนั้นแรงต่าง ๆ ที่กระทำกับก้อนของไหหลอจึงเป็นแรงที่เกิดจากความกดดัน แต่เพียงอย่างเดียว ของไหหลอที่ไม่มีความเสียดทานหรือไม่มีความหนืดเลยนั้นตามข้อเท็จจริงแล้วไม่มีอยู่ในโลก

สำหรับของไหหลอไม่ว่าจะเป็นของเหลวหรือแก๊สสำหรับมีการเคลื่อนที่เกิดขึ้นแล้วก็จะต้องมีแรงตามแนวสัมผัสหรือมีแรงเฉือนเกิดขึ้นด้วย เนื่องจากแรงเหล่านี้จะมีทิศทางสวนทางกับทิศทางเคลื่อนที่ ดังนั้นจึงทำให้เกิดแรงเสียดทานจากของไหหลอขึ้น แรงเสียดทานนี้เกิดจากคุณสมบัติอย่างหนึ่งของของไหหลอที่เรียกว่า ความหนืด (สุนันท์, 2548)

ของไหหลอเป็นสารที่ประกอบด้วยโมเลกุลจำนวนมากแต่จับตัวกันอย่างหลวม ๆ ไม่เหมือนกับของแข็ง ของไหหลอจะเปลี่ยนรูปไปตามภาชนะที่ใส่ หรือเปลี่ยนรูป (เดียรูป) ไปตามแรงภายนอกที่กระทำในการวิเคราะห์ปัญหาทางวิศวกรรมของของไหหลอ เราจะวิเคราะห์โดยสมมุติให้ของไหหลอนั้นมีค่าของ

คุณสมบัติต่าง ๆ อยู่ในสภาพต่อเนื่อง สมมุติฐานดังกล่าวจะขึ้นอยู่กับทฤษฎีของขีดจำกัดที่จะกำหนดค่า จุดหรืออนุภาคในของไอลดัชนีนาคเด็กที่สุดเท่าใดที่ยังมีคุณสมบัติเป็นสภาพต่อเนื่อง กล่าวอีกนัยหนึ่ง คือ ปริมาตรของอนุภาคของสารหรือจุดในของไอลที่มีขนาดเล็กสุดที่สามารถนำมารวมกันได้ ให้ เป็นไปตามทฤษฎีสภาพต่อเนื่องนั้น จะต้องมีขนาดใหญ่พอเพียงที่จะมีจำนวนไม่ลิตรของสารรวมอยู่ มากพอที่จะกล่าวได้ว่า ผลของการรวมกันแล้ว สามารถเฉลี่ยให้ค่าคุณสมบัติของสารนั้นมีค่า สมำเสมอในไม่มีผลของช่องว่างของแต่ละ ไมล์ลิตรเดียวกัน ดังนั้น คุณสมบัติของของไอลที่จุด ๆ หนึ่งที่ มีสภาพต่อเนื่องจะถูกสมมุติให้มีขนาดใหญ่พอที่คุณสมบัติดังกล่าวจะถูกกำหนดให้มีค่าที่เป็นพังก์ชัน ต่อเนื่องของตำแหน่งและเวลา (สมศักดิ์, 2552)

2.4 การไหลในทรงกระบอก

สามารถคำนวณหาอัตราการไหลผ่านพื้นที่หน้าตัด ในท่อทรงกระบอก เมื่อพิจารณาอัตราการ ไหลดังนี้

$$Q = \int_s (u \cdot n) dS \quad (12)$$

ใช้พิกัดทรงกระบอกตามสมการ $dS = r dr d\theta$ เมื่อ $n = e_z$ และ $u = v_z(r) e_z$ นำสมการที่ (7) แทนลงในสมการที่ (12) ได้

$$Q = \int_0^{2\pi} \int_0^R \frac{R^2 (p_1 - p_2)}{4\eta L} \left[1 - \left(\frac{r}{R} \right)^2 \right] r dr d\theta \quad (13)$$

อินทิเกรตสมการที่ (13) ได้ผลเฉลย

$$Q = \frac{\pi R^4}{8\eta} \left(\frac{p_1 - p_2}{L} \right) \quad (14)$$

เมื่ออัตราส่วน $\frac{p_1 - p_2}{L}$ เรียกว่า pressure gradient

อัตราการไหลของของไหล จึงแปรผกผันกับความหนืดของของไหล แต่แปรผันตรงกับกำลังสี่ของรัศมีท่อ และ pressure gradient ความถันพันธ์นี้ Poiseuille เป็นผู้ค้นพบคนแรก จึงเรียกสมการที่ (14) นี้ว่า Poiseuille's Law ความดันของของไหลที่มีความหนืดซึ่งไหลผ่านท่อ จึงมีค่าลดลง เมื่อว่าท่อจะอยู่ในแนวระดับและมีขนาดคงที่ (Cutnett and Jhonson, 2010)

$$\text{แทนค่า } R = \frac{D}{2} \text{ ลงในสมการที่ (14) ได้}$$

$$Q = \frac{\pi D^4 (p_1 - p_2)}{128 \eta L} \quad (15)$$

ความเร็วสูงสุดคือ

$$V_{\max} = \frac{R^2 (p_1 - p_2)}{4 \eta L} \quad (16)$$

$$\text{เนื่องจาก } \vec{V} = Q / A = 4Q / \pi D^2$$

$$\vec{V} = \frac{D^2 (p_1 - p_2)}{32 \eta L} \quad (17)$$

จากสมการที่ (17) ได้ผลต่างของความดัน

$$p_1 - p_2 = \frac{32 \eta \vec{V} L}{D^2} \quad (18)$$

จากสมการที่ (18) แทนค่าในเทอมของความเร็ว

$$p_1 - p_2 = \frac{128 \eta Q L}{\pi D^4} \quad (19)$$

จากสมการที่ (19) ความหนืดในของไหล ที่ไหลผ่านท่อทรงกระบอกสามารถเขียนได้ดังนี้

$$\eta = \frac{\pi D^4 (p_1 - p_2)}{128 Q L} \quad (20)$$

ถ้าหากลมมุ่นปากทางเข้าของท่อที่ต่อจากถังเก็บน้ำขนาดใหญ่ เพื่อป้องกันไม่ให้มีการรบกวนลำน้ำที่ไหลเข้าสู่ท่อแล้ว อนุภาคของของไหลทั้งหมดก็จะเริ่มเคลื่อนที่ด้วยความเร็วที่เท่า ๆ กัน ยกเว้นชั้นที่ติดอยู่กับผิวของท่อหรืออนุภาคที่ถัดจากผนังของท่อเท่านั้นที่ความเร็วเป็นศูนย์ เมื่อยกเว้นชั้นของไหลดังกล่าวแล้วของไหลที่ปากทางเข้าของท่อ ก็จะมีความเร็ว慢่ำ เสมอตลอดพื้นที่หน้าตัด เมื่อมีการไหลเกิดขึ้นของไหลส่วนที่อยู่ใกล้ผิวท่อ ก็จะถูกความเสียดทานจากผิวท่อหน่วงให้ไหลช้าลงและถ้าหากของไหลมีอัตราการไหลคงที่แล้ว ความเร็วของของไหลที่ก่อความเร็วที่ในหน้าตัดที่อยู่ตัด ๆ ไปก็จะต้องถูกเร่งให้เร็วขึ้นจนกระทั่งเส้นแสดงลักษณะการกระจายความเร็วเป็นรูปพาราโบลา(r) (ทวิช, 2548) ตามทฤษฎีนี้ตำแหน่งของเส้นแสดงลักษณะการกระจายความเร็วที่เป็นรูปพาราโบลานี้จะอยู่ห่างจากปากท่อเป็นระยะทาง l' แต่จากทฤษฎีและการสังเกตกลับปรากฏว่าความเร็วคลังท่อที่มีค่าเป็นร้อยละ 99 ของความเร็วสูงสุดเมื่อเป็นรูปพาราโบลาร์นี้อยู่ที่ตำแหน่ง

$$L' = 0.058R_e - D \quad (21)$$

ดังนั้นมีค่าเรย์โนลด์ส์นัมเบอร์วิกฤต $R_e = 2,000$ แล้วระยะ L' ดังภาพที่ 7 ก็จะเท่ากับ 116 เท่าของขนาดเส้นผ่าศูนย์กลางของท่อ สำหรับการไหลแบบ laminar ที่มีค่าเรย์โนลด์ส์นัมเบอร์ต่ำกว่าค่าวิกฤตนั้นระยะ L' ก็จะสั้นลง



ภาพที่ 7 แสดงลักษณะการกระจายความเร็วตามแนวยาวของท่อเมื่อไหลแบบ laminar

ที่มา: ทวิช (2548)

ในบริเวณของช่วง L' นั้นลักษณะการไหลจะเป็นแบบ unestablished flow ซึ่งหมายความว่า เส้นแสดงลักษณะการกระจายของความเร็วจะอยู่ในช่วงที่กำลังเปลี่ยนแปลง จะเห็นได้ว่าของไหล ดังกล่าวมีประกอบด้วยส่วนที่เป็นแกนกลางที่ไม่มีผลผลกระทบจากความเสียดทานกับส่วนที่เป็นรูปวง แหวนที่อยู่ติดกันมาจากแกนกลางไปยังผิวท่อ ความหนาของส่วนที่เป็นวงแหวนนี้จะเพิ่มขึ้นตามระยะที่วัดจากปากท่อ เราเรียกส่วนที่ตัดจากแกนกลางซึ่งเป็นรูปวงแหวนนี้ว่า boundary layer ความหนาดิน boundary layer นี้จะทำการถ่ายทอดผลกระทบของ boundary shear เข้าไปในของไหลจะพบว่า boundary layer จะโถจนกระทั่งเต็มท่อพื้นที่หน้าตัดของท่อ AB ในกรณีที่เป็นการไหลแบบรวมเรียบนั้น เส้นแสดงลักษณะการกระจายของความเร็วพื้นที่หน้าตัดของท่อ AB จะเป็นรูปพาราโบลาหรือรูปสูตรเส้น สำหรับเส้นแสดงลักษณะการกระจายของความเร็วในหน้าตัดที่ตัดจากพื้นที่หน้าตัดของท่อที่ใน ตำแหน่งที่พิจารณาไปนั้นจะมีรูปร่างคงเดิม เราเรียกการไหลช่วงนี้ว่า established flow (ทวิช, 2548)

ในกรณีของท่อกลม พลังงานจลน์ของลำน้ำที่ความเร็วกระจายเป็นรูปพาราโบลาใบาร์จะมีค่าเป็น $2V^2 / 2g$ เมื่อ V เป็นความเร็วเฉลี่ย เนื่องจากความเร็วของของไหลที่บริเวณปากท่อนั้นมีขนาด สมำเสมอเท่ากับ V ตลอดพื้นที่หน้าตัด ยกเว้นของไหลชั้นบาง ๆ ที่ติดกับผิวท่อเท่านั้น ดังนั้นพลังงานจลน์ของของไหลจำนวนหนึ่งหน่วยน้ำหนักที่บริเวณปากท่อจะมีค่าเป็น $V^2 / 2g$ ด้วยเหตุนี้เองพลังงานจลน์ของของไหลในช่วง L' ก็จะค่อย ๆ เพิ่มมากขึ้นพร้อม ๆ กับ pressure head ที่ลดน้อยลง ดังนั้น ตรงหน้าตัดที่ห่างจากปากท่อเป็นระยะทาง L' ก็จะมี pressure head ต่ำกว่า static head เท่ากับ $2V^2 / 2g$ นูกับ head loss ในช่วงความยาวนั้น (ทวิช, 2548)

2.5 คลื่นอัลตราโซนิก (Ultrasound waves)

การนำคลื่นอัลตราโซนิกมาใช้ในอุตสาหกรรมนั้นมีความสำคัญอย่างมาก โดยเฉพาะการวัด อัตราการไหลด้วยคลื่นอัลตราโซนิก ซึ่งมีพิสัยการวัดที่กว้าง ได้ถูกนำมาประยุกต์ใช้ เช่น การวัดอัตราการไหลของก๊าซที่มีความดันสูง การวัดกระจายตัวของก๊าซ ระบบเปิด-ปิดก๊าซเมื่อตรวจสอบการติดไฟของก๊าซ การวัดความสะอาดและสภาพในของไหล การวัดอัตราการไหลของร่องน้ำและแม่น้ำ การวัดอัตราการไหลของอากาศ ฯลฯ ซึ่งได้มีการพัฒนาเทคโนโลยีที่เกี่ยวกับการนำคลื่นอัลตราโซนิกมาใช้

ประโยชน์เพิ่มขึ้นอย่างหลาภดาย อาทิ เช่น การวัดอัตราการไฟลแบบเดิมๆ ถูกแทนที่ด้วยการวัดการไฟลด้วยคลื่นอัลตราโซนิก (Raj และคณะ, 2007)

คลื่นเหนือเสียงหรือคลื่นอัลตราโซนิกหรืออัลตราซาวนด์ เป็นคลื่นกลที่มีความถี่ 20 kHz ขึ้นไป ซึ่งเป็นปัจจัยสำคัญของการได้ยินทางด้านความถี่สูงจนถึงประมาณ 600 MHz คลื่นเหนือเสียงจึงเป็นเสียงเงียบ คลื่นเหนือเสียงที่มีความถี่ 600 MHz มีความยาวคลื่นในอากาศประมาณ $5 \times 10^{-7} \text{ เมตร}$ ซึ่งมีค่าพองๆ กับความยาวคลื่นของแสงในอากาศ ความยาวคลื่นที่สั้น ทำให้สามารถบีบกระชับคลื่นของคลื่นเหนือเสียงให้แคบลงได้มาก เมื่อผ่านสิ่งกีดขวางหรือช่องเปิดที่ส่วนใหญ่มีขนาดโตกว่าความยาวคลื่นของคลื่นเหนือเสียงมาก การเลี้ยวเบนของลำคลื่นของคลื่นเหนือเสียงจะเกิดขึ้นอย่างมาก

คลื่นเหนือเสียงนำมาใช้ประโยชน์ได้มากน้อย เช่น การสะท้อนของคลื่นเหนือเสียง นำมาใช้ในการวัดความลึกของทะเลหรือแม่น้ำ หาตำแหน่งของวัตถุใต้น้ำ (เรือดำน้ำ ผู้ป่วย) การตรวจและวินิจฉัยโรค การสื่อสารด้วยคลื่นเสียง เรียกว่า ภาษาในวัตถุ ตัวอย่างการใช้ประโยชน์เหล่านี้ เป็นการใช้คลื่นเหนือเสียงเป็นตัวกลางในการตรวจหาข้อมูล ทำนองเดียวกับการใช้ประโยชน์จากไฟฟ้าในลักษณะของไฟฟ้าสื่อสาร ความถี่ที่สูงทำให้อุณหภูตตัวกลางที่คลื่นเหนือเสียงเคลื่อนผ่านสั่นด้วยความถี่สูง การสั่นสะเทือนนี้นำไปใช้ในการทำให้เกรน (เม็ดผลึก) ของโลหะเล็กลง ผลจากการสั่นด้วยความถี่สูง ทำให้เกิดการเปลี่ยนแปลงความดันอย่างรวดเร็วและอาจมีความร้อนเกิดขึ้น ซึ่งนำไปใช้ประโยชน์ได้เช่นกัน เช่น การเชื่อมพลาสติก การทำความสะอาดด้วยคลื่นเหนือเสียงตัวอย่างการใช้ประโยชน์ ในการผึ้งหังน้ำยาซึ่งพัฒนาที่เกิดจากคลื่น โดยตรงทำนองเดียวกับการนำพลังงานไฟฟ้ามาใช้ประโยชน์ในลักษณะของไฟฟ้ากำลัง (สุชาติ, 2544)

พลังงานอันเกิดจากคลื่นเสียงอัลตราโซนิก ที่อาจก่อให้เกิดอันตรายต่อสิ่งมีชีวิตได้นั้นจะต้องมีค่าเกินกว่า 0.1 W/cm^2 แต่ว่าพลังงานของคลื่นอัลตราโซนิกที่ใช้กับการทดลองแบบไม่ทำลาย หรือใช้ในทางการแพทย์นั้นจะมีค่าต่ำกว่า 0.1 mW/cm^2 ดังนั้นจึงไม่จำเป็นต้องห่วงว่าคลื่นอัลตราโซนิกจะมีผลกระทบต่อร่างกายอย่างใด (สมาคมส่งเสริมเทคโนโลยี (ไทย-ญี่ปุ่น), 2543)

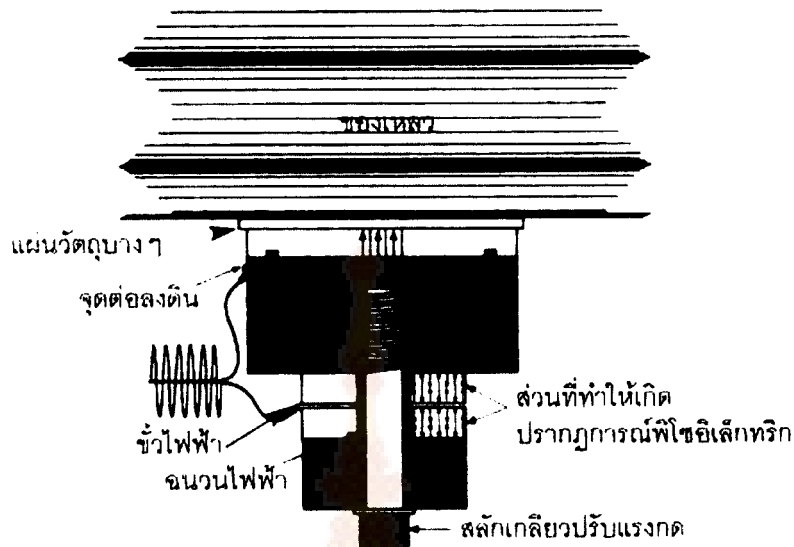
2.6 อัลตราโซนิกทราบส์ดิวเซอร์

ทราบส์ดิวเซอร์ เป็นอุปกรณ์ที่ใช้ถ่ายทอดพลังงานจากระบบหนึ่งเข้าสู่อีกระบบหนึ่ง โดยส่วนมากจะเปลี่ยนรูปแบบของพลังงานจากพลังงานรูปแบบหนึ่งไปเป็นพลังงานอีกรูปแบบหนึ่ง ก่อนที่จะถ่ายทอดพลังงานระหว่างระบบ

อัลตราโซนิก ทราบส์ดิวเซอร์ เป็นอุปกรณ์ที่ใช้ถ่ายทอดพลังงานระหว่างระบบ โดยเปลี่ยนพลังงานแม่เหล็กหรือพลังงานไฟฟ้า เป็นพลังงานกลของการสั่น เชิงกลในย่านความถี่ของคลื่นเหนือเสียง หรือในทางกลับกัน คือ เปลี่ยนพลังงานกลจากการสั่น เชิงกลในย่านความถี่ของคลื่นเหนือเสียง เป็นพลังงานแม่เหล็กหรือพลังงานไฟฟ้า อัลตราโซนิกทราบส์ดิวเซอร์ จึงเป็นอุปกรณ์ที่สำคัญมาก ในการนำคลื่นเหนือเสียงมาใช้ประโยชน์

อัลตราโซนิกทราบส์ดิวเซอร์ ที่ใช้กันโดยทั่วไปในปัจจุบัน แบ่งออกเป็น 2 แบบ คือ แบบที่ทำให้เกิดการสั่น เชิงกลด้วยพลังงานแม่เหล็ก (magnetostriuctive transducers) (สุชาติ, 2544) กับแบบที่ทำให้เกิดการสั่น เชิงกลด้วย พลังงานไฟฟ้า (piezoelectric transducers) อัลตราโซนิกทราบส์ดิวเซอร์ทั้งสองแบบนี้ ทำงานเหมือนกัน คือ เปลี่ยนพลังงานไฟฟ้ากระแสสลับไปเป็นพลังงานกลของการสั่น แต่ใช้วิธีการที่แตกต่างกัน

อัลตราโซนิกทราบส์ดิวเซอร์ แบบทำให้เกิดการสั่น เชิงกลด้วยพลังงานไฟฟ้า ทำงานโดยการเปลี่ยนพลังงานไฟฟ้ากระแสสลับเป็นพลังงานกลของการสั่นโดยตรง จากผลของปรากฏการณ์พิโซอิเล็กทริก (Piezoelectric effect) จึงนิยมเรียกว่า พิโซอิเล็กทริกทราบส์ดิวเซอร์ ปรากฏการณ์พิโซอิเล็กทริก เป็นปรากฏการณ์ที่วัตถุบางชนิดมีขนาดเปลี่ยนไป เมื่อได้รับประจุไฟฟ้าหรือกระแสไฟฟ้า หรือในทางกลับกัน การทำให้ขนาดของวัตถุบางชนิดเปลี่ยนไป (ยุบและขยายตัว) ด้วยพลังงานกล จะทำให้เกิดประจุไฟฟ้าหรือกระแสไฟฟ้าขึ้น พิโซอิเล็กทริกทราบส์ดิวเซอร์ มีส่วนประกอบหลักดังภาพที่ 8 (สุชาติ, 2544)



ภาพที่ 8 ส่วนประกอบหลักของพิโซอิเล็กทริกทรายสีขาวเชอร์

ที่มา: สุชาติ (2544)

ผลลัพธ์งานไฟฟ้ากระแสสลับ ความถี่ย่านคลื่นเหนือเสียงจากเครื่องกำเนิดคลื่นเหนือเสียงที่จ่ายไปยังทรายสีขาวเชอร์ทำให้สารพิโซอิเล็กทริกในทรายสีขาวเชอร์สั่น การสั่นนี้จะได้รับการขยายด้วยความถี่เรโซแนนซ์หรือความถี่ธรรมชาติในการสั่นของมวลของทรายสีขาวเชอร์ (มวลของทรายสีขาวเชอร์จะมีค่าพอเมะที่จะทำให้เกิดเรโซแนนซ์ของคลื่นที่ความถี่ต้องการ) แล้วถ่ายทอดการสั่นออกไปทางแผ่นวัตถุบางๆ ดังแสดงในภาพที่ 8 สำหรับการใช้งานในเครื่องทำความสะอาดด้วยคลื่นเหนือเสียง การสั่นนี้จะถ่ายทอดเข้าสู่ของเหลวโดยตรง (สุชาติ, 2544)

2.7 กลไกการเกิด Cavitation

คลื่นเหนือเสียงจากชุดของทรายสีขาวเชอร์ที่ส่งผ่านไปในของเหลวที่บรรจุอยู่ในเครื่องทำความสะอาดด้วยคลื่นเหนือเสียง ทำให้เกิดส่วนอัดและส่วนขยายขึ้นในของเหลว ขณะที่เกิดส่วนขยายของเหลวจะแยกตัวออกเกิดเป็นฟองเล็ก ๆ (มองด้วยตาเปล่าไม่เห็น) ขึ้น ฟองเหล่านี้จะขยายออกจนมีขนาดโตที่สุด เมื่อความดันในของเหลวลดลงสู่ความดันปกติ ความดันจากส่วนอัดที่เกิดตามมา ทำให้

ฟองเหล่านี้ยุบตัวลงอย่างรวดเร็ว และเกิดการระเบิด ส่งคลื่นกระแทกที่รุนแรงออกไป ปรากฏการณ์ที่เกิดขึ้นนี้เรียกว่า “แคริเทชัน” ขณะที่ฟองเหล่านี้ขยายตัวและยุบตัว แก๊สที่ละลายอยู่ในของเหลวจะแพร่ผ่านเข้าและออกจากฟองเหล่านี้ตลอดเวลา การยุบตัวและการระเบิดของฟองจำนวนมากมาย ทำให้เกิดเป็นลำของเหลวที่เคลื่อนที่ด้วยอัตราเร็วสูง อุณหภูมิและความดันในบริเวณที่เกิดแคริเทชันอาจสูงถึง 5000°C และ 600 เท่าของความดันบรรยายกาศปกติ ตามลำดับหรือสูงกว่า (จากการคำนวณ) อุณหภูมิที่สูงมากประกอบกับการเคลื่อนที่ด้วยอัตราเร็วสูงของลำของเหลว (ผลจากการเกิดคลื่นกระแทก) ทำให้สิ่งสกปรกที่ติดอยู่กับตัวถูกที่ต้องการทำความสะอาดซึ่งจุ่มน้ำในของเหลวหลุดไป และใช้เป็นกระบวนการผ่าเชื้อโรค ได้แบบหนึ่ง (โดยเฉพาะเชื้อแบคทีเรีย) แต่อุณหภูมิของเครื่องทำความสะอาดด้วยคลื่นเหนือน้ำเสียง ขณะใช้งานไม่สูงนัก เนื่องจากการขยายตัวและยุบตัวของฟองเกิดขึ้นในช่วงเวลาถ้าหาก ของเหลวบริเวณรอบ ๆ ฟองเหล่านี้ จะดูดกลืนความร้อนอย่างรวดเร็ว ทำให้อุณหภูมิของบริเวณที่เกิดแคริเทชันลดลงอย่างรวดเร็ว เช่นกัน ด้วยเหตุนี้อุณหภูมิของถังบรรจุของเหลวและของเหลวจึงไม่สูงมากเพียงอุ่น ๆ เท่านั้น ในระหว่างการใช้งานเครื่องทำความสะอาดด้วยคลื่นเหนือน้ำเสียง

ประสิทธิภาพของการทำความสะอาดด้วยคลื่นเหนือน้ำเสียงขึ้นอยู่กับตัวแปรหลายอย่าง นอกจากเวลา อุณหภูมิ และสิ่งตกค้างทางเคมีที่เป็นตัวแปรสำคัญในการทำความสะอาดด้วยคลื่นเหนือน้ำเสียง เช่นเดียวกับการทำความสะอาดด้วยวิธีอื่นแล้ว ยังมีตัวแปรอื่น ๆ ที่มีผลต่อประสิทธิภาพของการทำความสะอาดด้วยคลื่นเหนือน้ำเสียง โดยเฉพาะตัวแปรที่มีผลต่อการเกิดแคริเทชันในของเหลว

อุณหภูมิเป็นตัวแปรที่สำคัญที่สุด ต่อการเกิดแคริเทชัน เพราะสมบัติหลักของการของของเหลวที่มีผลต่อการเกิดแคริเทชัน เช่น ความหนืด ปริมาณแก๊สที่ละลายอยู่ในของเหลว ยัตราชาราเร็วของแก๊สที่ละลายอยู่ในของเหลว และความดันไอ ล้วนเปลี่ยนแปลงไปตามอุณหภูมิของของเหลวทั้งสิ้น ในน้ำบริสุทธิ์ ปรากฏการณ์แคริเทชันจะมีความเข้มสูงสุดเมื่อน้ำมีอุณหภูมิประมาณ 160°F หรือประมาณ 71°C (สุชาติ, 2544)

ความดันเป็นค่าตัวแปรที่สำคัญมากตัวแปรหนึ่ง ค่าของตัวแปรอื่นๆ ในระบบ (process measurement) สามารถวัดได้ในรูปของความดันทั้งสิ้น เช่น การวัดอัตราการไหลแบบใช้ตัววัดลักษณะอยริพิสทำให้เกิดค่าความดันดิฟเพอร์เซนต์ การวัดระดับของของเหลวในภาชนะ โดยใช้หลักการวัด

ความดันคิดเพื่อเรนเซียล ที่เกิดจากสแตติกヘด (static head) และการวัดอุณหภูมิแบบเติมของเหลวในกระป๋อง (filled thermal) เป็นการเปลี่ยนค่าอุณหภูมิเป็นความดันก่อนแล้วอ่านอุณหภูมิในรูปของความดัน

ความดัน หมายถึง แรงที่กระทำลงอย่างสม่ำเสมอในแนวตั้งจากบนพื้นที่ที่กำหนด ถ้ากำหนดให้ F คือแรงที่กระทำ, A คือพื้นที่ที่ถูกกระทำ, P คือ ความดันที่เกิดขึ้นจะได้(สมศักดิ์, 2540)

$$P = \frac{F}{A} \quad (23)$$

แรงที่กระทำอาจเกิดจากของเหลว (liquids) ก๊าซ หรือของแข็ง (solids) ก็ได้

ของเหลวมีมวลหนาแน่นกว่าก๊าซมาก ในทางปฏิบัติถือว่าของเหลวเป็นสารที่อัดตัวไม่ลง (incompressible) ถ้าเปรียบเทียบกับก๊าซแล้ว ก๊าซเป็นสารที่อัดตัวลง (compressible) เมื่อของเหลวถูกบรรจุอยู่ในภาชนะ โมเลกุลของของเหลวจะทับถมกันลง ไปเรื่อย ๆ จากนั้นลงสู่ล่างทำให้ความดันเพิ่มขึ้นเรื่อย ๆ ตามขนาดความสูงของของเหลวนั้น

ความดันที่เกิดจากของเหลวลักษณะนี้เรียกว่า สแตติกヘด (static head) หรือเรียกสั้นๆ ว่าヘด (head) ถ้ากำหนดให้

P คือ ความดันของเหลว มีหน่วยเป็น bar

ρ คือ ความหนาแน่นของของเหลว มีหน่วยเป็น kg / m^3

h คือ ความสูงของของเหลว มีหน่วยเป็น m

และ g คือ แรงโน้มถ่วง มีหน่วยเป็น m / s^2

จะได้

$$P = \rho gh \quad (24)$$

2.8 การวัดอัตราการไหลดของของไหลดด้วยคลื่นอัลตราโซนิก

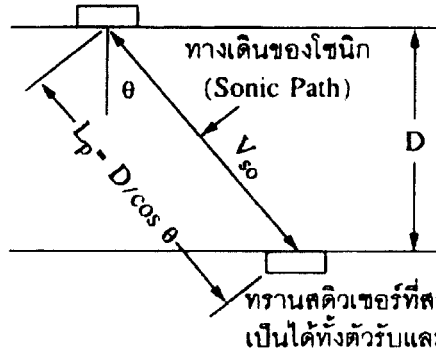
อัลตราโซนิก มีหลักการวัด อัตราการไหลด โดยอาศัยคลื่นความถี่เหนือเสียง มืออยู่ห่างแบบ แต่ที่นิยมใช้กันอย่างแพร่หลายมีอยู่ 2 แบบ คือ แบบ Counterpropagating และ แบบ Doppler สำหรับของไหลด ที่มีสารแวนดอยปะปนอยู่ด้วยเพื่อใช้เป็นตัวสะท้อนคลื่น

แบบ Counterpropagating

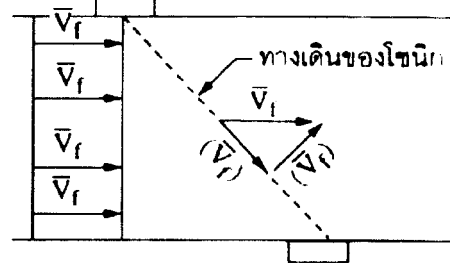
การวัดอัตราการไหลด โดยใช้ทรายสีขาวซึ่งจะถูกนำไปวางประกอบกับเนื้อห้องค้านอก คลื่นอัลตราโซนิกจะถูกส่งจากทรายสีขาว ตัวที่ 1 ไปยังตัวที่ 2 (t_1) และกลับกันจากตัวที่ 2 ไปตัวที่ 1 (t_2) ในกรณีที่ของเหลวภายในห้องไม่มีการเคลื่อนที่ หรืออัตราการไหลดเป็นศูนย์ จะสังเกตได้เมื่อทรายสีขาวทั้งสองตัวนี้กำเนิดคลื่นอัลตราโซนิกเดียวกัน ถูกส่งออกไปและใช้ระยะเวลาในการเคลื่อนที่เท่ากัน ผลที่ได้คือ ความเร็ว และเวลาในการเคลื่อนที่เท่ากัน ดังนั้นผลต่างของเวลาในการเคลื่อนที่ (Δt) จะเท่ากับศูนย์ซึ่งผลต่างของเวลาในการเคลื่อนที่นี้จะมีความสัมพันธ์กับความเร็วในการเคลื่อนที่ของของไหลด ซึ่งจะได้ความเร็วของของไหลดเป็นศูนย์ แต่ในกรณีที่ของเหลวมีการเคลื่อนที่ จากทรายสีขาว ตัวที่ 1 ไปยังตัวที่ 2 จะสังเกตได้ว่าความเร็วในการเคลื่อนที่ของคลื่นในของเหลว จะสัมพันธ์กับความเร็วในการเคลื่อนที่ของคลื่นในของเหลว (ปัญญา, 2538)

สามารถกำหนดค่า อัตราการไหลด ได้โดยอาศัยหลักความแตกต่างของความเร็วในการเดินทางของคลื่นความถี่เหนือเสียง โดยความเร็วจะมากขึ้นเมื่อทิศทางการไหลดและทิศทางของคลื่นความถี่เป็นไปในทางเดียวกัน และจะลดลงเมื่อทิศทางกลับกัน ด้วยผลต่างของช่วงเวลาทั้งสอง จึงสามารถกำหนดความเร็วในการไหลดของ ของไหลดในห้องได้พิจารณาตามภาพที่ 9 (สมศักดิ์, 2540)

ทราบสดิวเซอร์ที่สามารถเป็นตัวรับและตัวส่ง



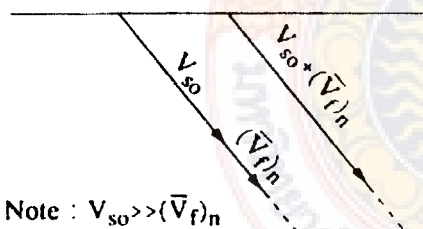
(ก) เมื่อไม่มีการไฟล์



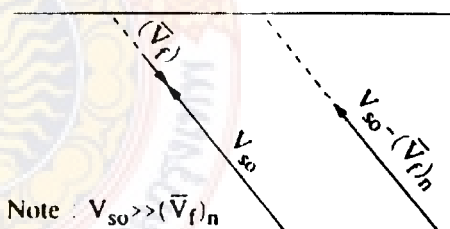
(ข) ทิศทางของโซนิกนานาไปกับการไฟล์

ภาพที่ 9 หลักการทำงานของแบบ Counterpropagating

ที่มา: สมศักดิ์ (2540)



(ก) ช่วงที่คลื่นอัลตราโซนิกเดินทางตามกระเสกา



(ง) ช่วงที่คลื่นอัลตราโซนิกเดินทางสวนทางกับการไฟล์

ภาพที่ 10 ช่วงที่คลื่นอัลตราโซนิกเดินทางตามและสวนกระเสกา

ที่มา: สมศักดิ์ (2540)

ถ้ากำหนดให้ เส้นผ่านศูนย์กลางของท่อคือ D เมื่อติดตั้งตัวรับและตัวส่งด้านล่าง และด้านบนเยื่องกันดังภาพที่ 10 ระยะที่คลื่นจะเดินทางจากตัวส่งถึงตัวรับจึงเท่ากับ $D/Cos\theta$ เรียกว่า L_p ความเร็วในการเดินทางของคลื่นจากตัวส่งถึงตัวรับเป็น V_{so} เมื่อ ของไหลด ไหลดอยู่ในท่าด้วย ความเร็ว V_f การทำงานของ Flow meter กำหนดให้ทราบสัดส่วนที่ส่องตัวสลับกันเป็นตัวรับและตัว ส่ง จากทฤษฎีดังกล่าวข้างต้น เมื่อทราบสัดส่วนด้านบนเป็นตัวส่งความเร็วของไหลดและคลื่น ความถี่จะเสริมกัน ทำให้ความเร็วรวมเป็น $V_{so} + V_f$ และเมื่อทราบสัดส่วนตัวล่างเป็นตัวส่งความเร็ว ของ ของไหลดในท่อและคลื่นความถี่จะหักล้างกัน ทำให้ได้ความเร็วรวมเป็น $V_{so} - V_f$ เขียนเป็นสมการ ดังนี้

ช่วงเวลาที่ทราบสัดส่วนส่งถึงตัวล่าง

$$t_{dn} = \frac{L_p}{V_{so} + V_f \cdot \cos\theta} \quad (25)$$

ช่วงเวลาที่ทราบสัดส่วนส่งถึงตัวบน

$$t_{up} = \frac{L_p}{V_{so} - V_f \cdot \cos\theta} \quad (26)$$

จากความสัมพันธ์ของสมการที่ 1 และ 2 จะได้

$$\frac{1}{t_{dn}} - \frac{1}{t_{up}} = \frac{t_{up} - t_{dn}}{t_{up} \cdot t_{dn}} = \frac{2V_f \cdot \cos\theta}{L_p} \quad (27)$$

จะได้

$$V_f = \frac{L_p}{2 \cdot \cos\theta} \left(\frac{t_{up} - t_{dn}}{t_{up} \cdot t_{dn}} \right) \quad (28)$$

ค่า Flow ที่วัดเป็นปริมาตร

$$Q = AV_f = \frac{\pi D^2}{4} \cdot \frac{L_p}{2\cos\theta} \left(\frac{t_{up} - t_{dn}}{t_{up} \cdot t_{dn}} \right) \quad (29)$$

เมื่อ $L_p = \frac{D}{\cos\theta}$ คือ

$$Q = AV_f = \frac{\pi D^3}{8(\cos\theta)^2} \left(\frac{t_{up} - t_{dn}}{t_{up} \cdot t_{dn}} \right) \quad (30)$$

บทที่ 3

วิธีดำเนินการวิจัย

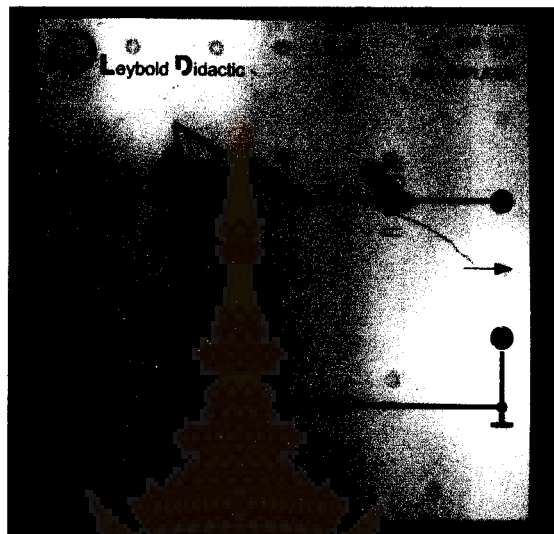
3.1 วัสดุและอุปกรณ์

3.1.1 หัวอัลตราโซนิกทรานส์ดิวเซอร์ แบบ piezoelectric 40k Hz



ภาพที่ 11 หัวอัลตราโซนิกทรานส์ดิวเซอร์ แบบ piezoelectric 40k Hz

3.1.2 AC-amplifier รุ่น LEYBOLD 416010



ภาพที่ 12 AC-amplifier รุ่น LEYBOLD 416010

3.1.3 Function generator รุ่น Tektronix AFG 3021B



ภาพที่ 13 Function generator รุ่น Tektronix AFG 3021B

3.1.4 ออสซิลโลสโคป รุ่น Tektronix TDS 1012



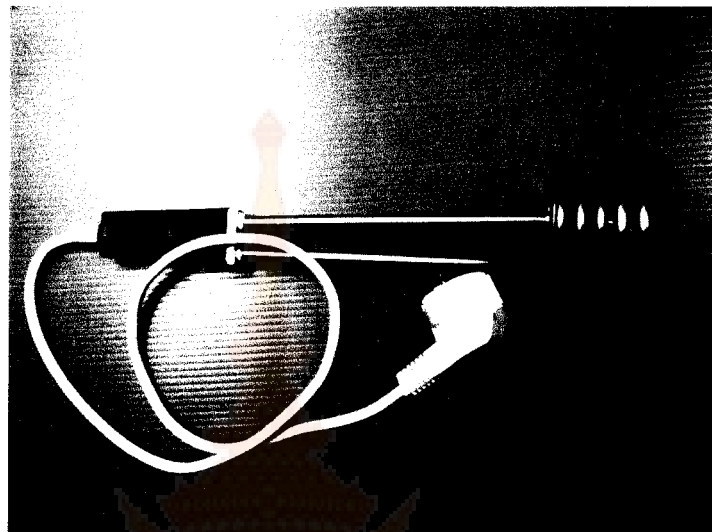
ภาพที่ 14 ออสซิลโลสโคป รุ่น Tektronix TDS 1012

3.1.5 มัลติมิเตอร์ รุ่น Extech 410



ภาพที่ 15 มัลติมิเตอร์ รุ่น Extech 410

3.1.6 ชีตเตอร์รุ่น pcospec 105 ขนาด 1,000 วัตต์



ภาพที่ 16 ชีตเตอร์รุ่น pcospec 105 ขนาด 1,000 วัตต์

3.1.7 ท่อพีวีซี

3.1.8 คอมพิวเตอร์

3.1.9 ถังรองน้ำ ถังพลาสติก ขนาดเส้นผ่านศูนย์กลางภายใน 0.42 เมตร สูง 0.59 เมตร

3.1.10 ฝาปิดปลายห่อ

3.1.11 น้ำ

3.1.12 ถังพลาสติก ขนาดเส้นผ่านศูนย์กลางภายใน 0.53 เมตร สูง 0.30 เมตร

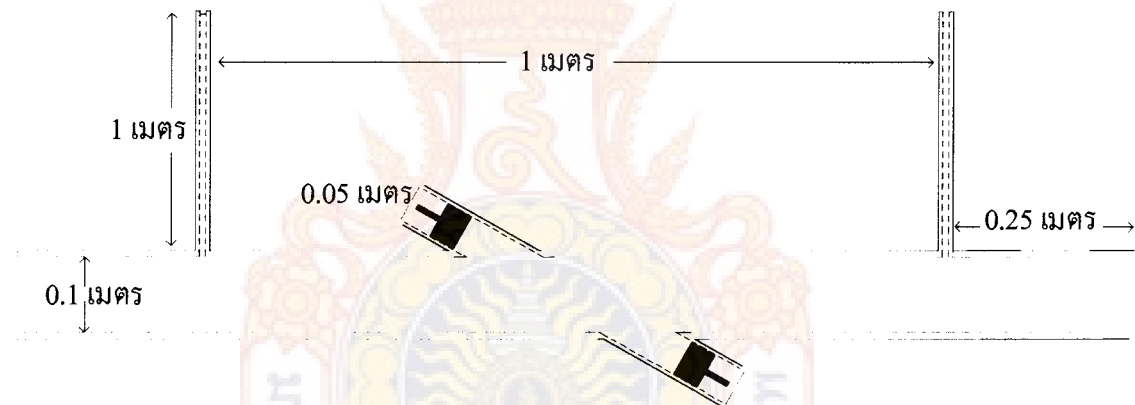
3.2 วิธีการ

3.2.1 สร้างชุดทดลองการวัดความหนืดของของไอลด์คิวบลีนอัลตราโซนิก

3.2.1.1 ออกแบบชุดทดลองการวัดความหนืดของของไอลด์คิวบลีนอัลตราโซนิก

ในการออกแบบและสร้างชุดทดลองการวัดความหนืดของของไอลด์คิวบลีนอัลตราโซนิกนั้น ผู้วิจัยทำการกำหนดขนาดและแบบท่อที่เหมาะสม โดยทดลองท่อ 2 แบบ คือ

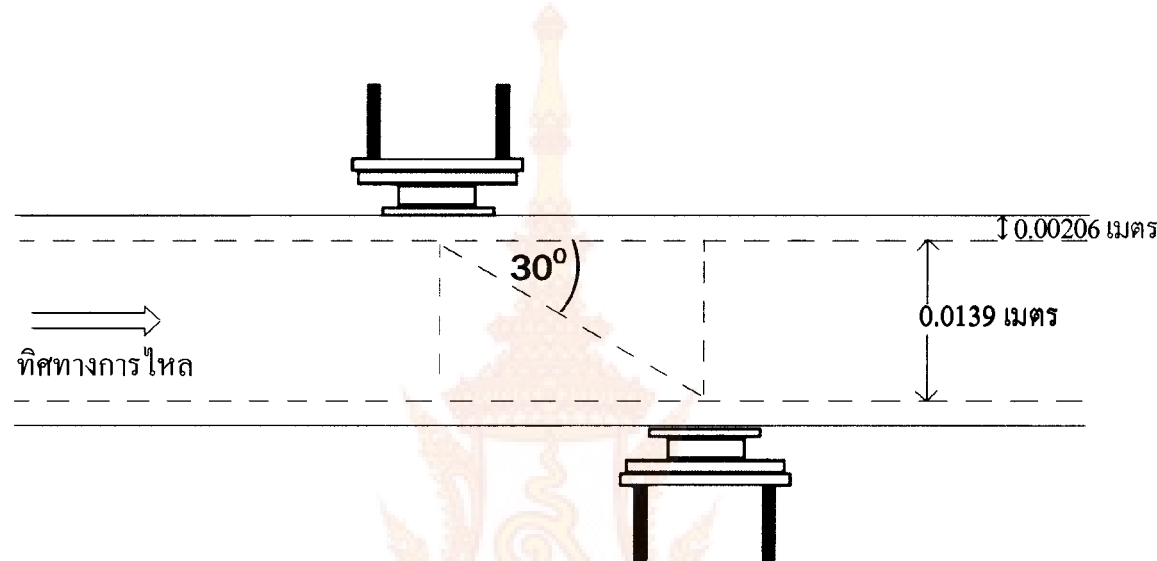
แบบที่ 1 คือท่อขนาดเดินผ่านศูนย์กลางภายใน 0.1 เมตร ยาว 1.5 เมตร เชื่อมต่อเข้ากับถังบรรจุของเหลว ขนาด 120 ลิตร ติดอยู่กรณีหัวอัลตราโซนิกทราบสติวเซอร์หัวรับและหัวส่งเข้าภายในท่อโดย การเจาะท่อน้ำหัวรับและหัวส่งทราบสติวเซอร์ วางทำมุมะระหว่างกัน 30 องศา ภายในท่อ และได้ติดตั้งปั๊มน้ำให้ป้อนน้ำไอลด์คิวบ์มาทางเทนน้ำที่ไอลด์ออกไปจากถังบรรจุน้ำ ส่วนการวัดความคันนั้น ได้ใช้หลักการแบบมานอมิเตอร์ (Cengel และคณะ, 2006) ดังแสดงในภาพที่ 17



ภาพที่ 17 แบบท่อแบบที่ 1

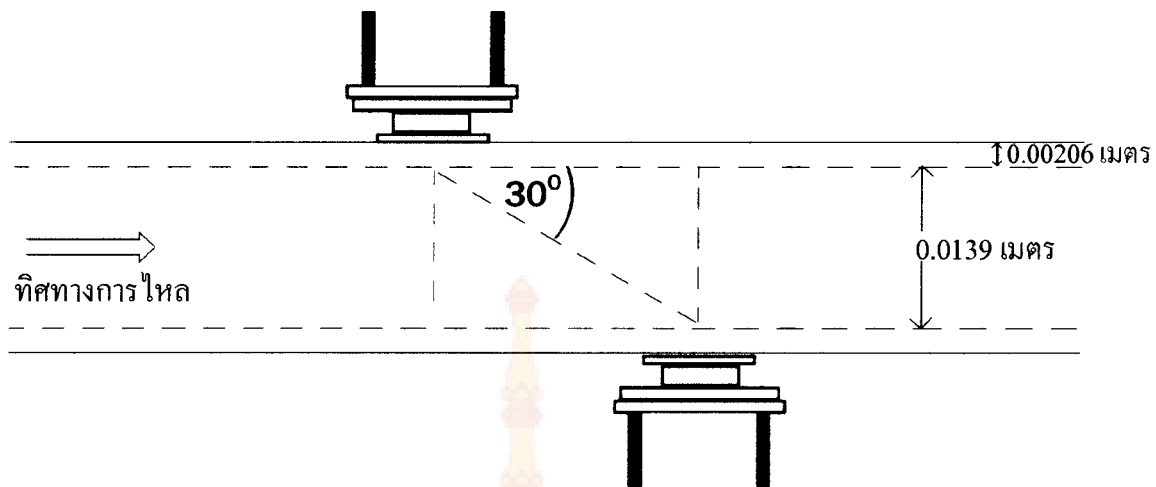
แบบที่ 2 กำหนดขนาดและแบบ โดยคำนวณจากสมการของ Reynolds number ดังแสดงในภาคพนวก ก (สมศักดิ์, 2540) โดยท่อแบบที่ 2 มีขนาดเดินผ่านศูนย์กลางภายใน 0.0139 เมตร หนา 0.00206 เมตร ยาว 5 เมตร ปลายท่อมีฝาเปิด-ปิดน้ำ ถังสูง 0.3 เมตร แนวการเจาะถังวัดจากก้นถังขึ้นมา เป็นระยะ 0.225 เมตร ซึ่งเป็นตำแหน่งกึ่งกลางของท่อ เจาะถังเชื่อมเข้ากับท่อ โดยท่อน้ำวางตามแนวราบ ยึดติดกับแคลมป์ รัศก์ท่อคิวบลีนอัลตราโซนิกทราบสติวเซอร์ 2 หัวให้อ่ายุ่งระหว่างกลางท่อ ใช้ function generator สร้างสัญญาณความถี่ 40 kHz ให้กับหัวอัลตราโซนิกทราบสติวเซอร์ หัวอัลตราโซนิกทราบสติวเซอร์แบ่งเป็นภาครับ-ส่งสัญญาณ เพื่อหา t_{up} (เวลาที่ส่งคลื่นอัลตราโซนิกทวนกระแส

การให้ลงของน้ำ) และ t_{down} (เวลาที่ส่งคลื่นอัลตราโซนิกตามกระแทกการให้ลงของน้ำ) หัวอัลตราโซนิกทรายสติวเซอร์ 2 หัว ทำมุ่งระหว่างกัน 30 องศา ส่งคลื่นอัลตราโซนิกที่เคลื่อนที่ผ่านตัวกลางคือน้ำจะมีระยะเวลาเป็นสองเท่าของเดือนผ่านศูนย์กลางภายในห้อง ส่วนการวัดความดันใช้การคำนวณจากสมการที่ (24) แล้วซึ่งมีต่อหัวอัลตราโซนิกทรายสติวเซอร์เข้ากับอุปกรณ์ชุดขับสัญญาณต่อเข้ากับสัมภาระ โลสโคป และคอมพิวเตอร์ ดังแสดงแบบท่อในภาพที่ 18

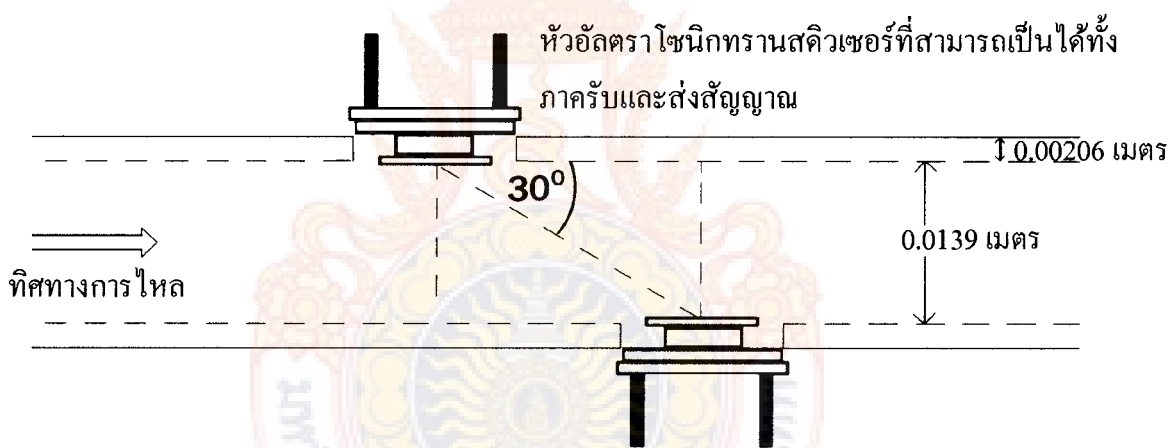


ภาพที่ 18 แบบท่อแบบที่ 2

จากนั้นจึงศึกษาวิธีการส่งสัญญาณอัลตราโซนิกใน 2 ลักษณะ คือ แบบภายนอกหัวอัลตราโซนิกทรายสติวเซอร์นอกหัว ก่อนวางหัวอัลตราโซนิกทรายสติวเซอร์นั้นต้องทา อัลตราโซนิกเจล กับหัวร้อนๆ บริเวณที่จะวางหัวอัลตราโซนิกทรายสติวเซอร์ การวางหัวอัลตราโซนิกทรายสติวเซอร์ทั้งสองทำมุ่ง 30 องศา ดังแสดงในภาพที่ 19 และแบบภายนอกหัวอัลตราโซนิกทรายสติวเซอร์ ภายนอกหัวนั้นจะต้องเจาะรูสองรูให้ทั้งสองรูให้ได้รูปทรงที่พอเหมาะสม กับขนาดของหัวอัลตราโซนิกทรายสติวเซอร์ โดยคำนึงถึง ทั้งสองรูทำมุ่ง 30 องศา เมื่อเจาะหัวท่อได้ขนาดที่ต้องการแล้วนำหัวอัลตราโซนิกทรายสติวเซอร์ประกอบเข้ากับหัวอัลตราโซนิกทรายสติวเซอร์ที่ต้องการ ดังแสดงในภาพที่ 20



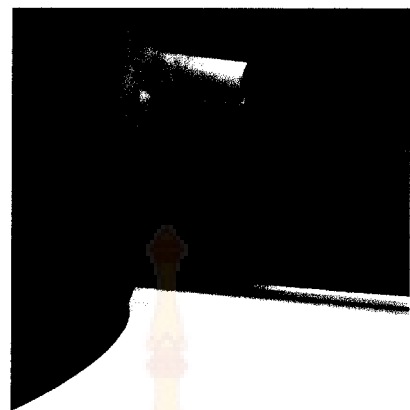
ภาพที่ 19 วิธีการส่งสัญญาณคลื่นอัลตราโซนิกภายนอกท่อ



ภาพที่ 20 วิธีการส่งสัญญาณคลื่นอัลตราโซนิกภายในท่อ

3.2.1.2 สร้างชุดทดลองการวัดความหนืดของของไหลด้วยคลื่นอัลตราโซนิก

(1) สร้างชุดทดลองการวัดความหนืดของของไหลด้วยคลื่นอัลตราโซนิก ตามที่ออกแบบนำมาทดสอบพัฒนาจนได้ค่าที่สอบวัดที่เหมาะสม โดยใช้ท่อแบบที่ 2 มีขนาดเส้นผ่านศูนย์กลางภายใน 0.0139 เมตร หนา 0.00206 เมตร ยาว 5 เมตร ปลายท่อมีฝาปิด-ปิดน้ำ ถังสูง 0.3 เมตร แนวการเจาะถังวัดจากก้นถังขึ้นมาเป็นระยะ 0.225 เมตร ซึ่งเป็นตำแหน่งกึ่งกลางของท่อ เจาะถังเชื่อมเข้ากับท่อดังภาพที่ 21 โดยท่อน้ำwangตามแนวราบยึดติดกับแคลมป์รัดท่อค้ำยวายรัดจัดท่อให้อยู่ในแนวระดับเดียวกันตลอดทั้งเส้นดังภาพที่ 22 โดยใช้ไม้วัดระดับน้ำ นำถังมารองน้ำด้านปลายท่อ ติดตั้งหัวอัลตราโซนิกทรายสีขาว 2 หัวให้อยู่ระหว่างกลางท่อดังแสดงในภาพที่ 23



ภาพที่ 21 ถังพลาสติกต่อ กับข้อต่อตรงด้วยวิธีการเชื่อมพลาสติก



ภาพที่ 22 ท่อน้ำวางตามแนวราบยึดติดกับเคลมป์

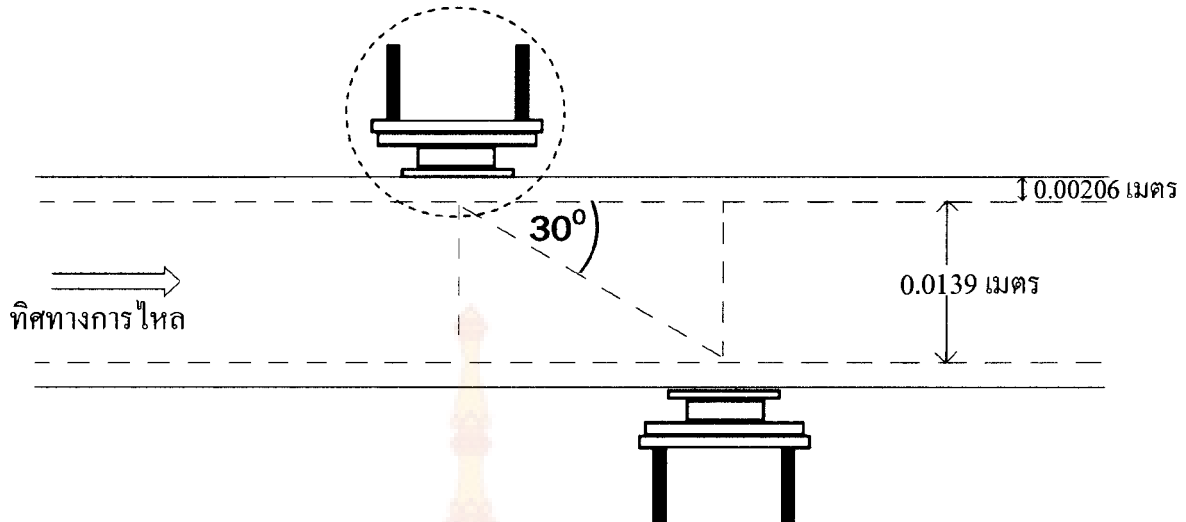


ภาพที่ 23 หัวอัลตราโซนิกทราบสดิวเซอร์ 2 หัวติดตั้งอยู่ร่องหัวงกลางท่อ

(2) การสอบวัดเครื่องมือทำโดยหาความหนืดของน้ำ ในชุดทดลองการวัดความหนืดของของไอลด้วยคลื่นอัลตราโซนิกเบรียบเทียบกับความหนืดของน้ำที่อุณหภูมิ 313.15 K แล้วทำการปรับปรุงชุดทดลอง โดยมีขั้นตอนการสอบวัดดังนี้

ต่อ Function generator เข้ากับหัวอัลตราโซนิกทราบสดิวเซอร์เพื่อหา t_{up} หรือ t_{down} โดยปรับ Function generator ให้มีความถี่ 40 kHz เป็นคลื่นรูป sine wave กดปุ่ม on บน Function generator เพื่อปล่อยคลื่นสัญญาณ

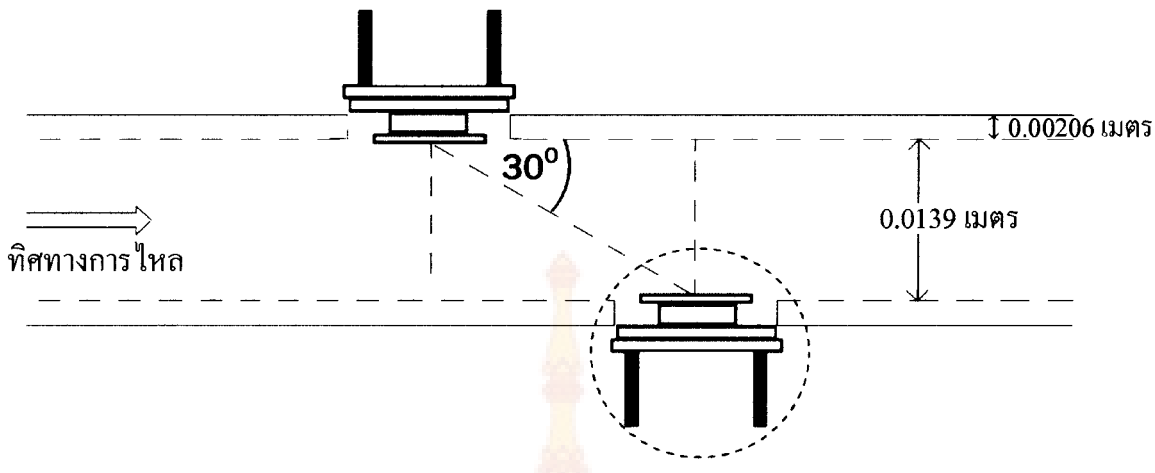
หัวอัลตราโซนิกทราบสดิวเซอร์อีกหัวจะเป็นหัวรับสัญญาณ ต่อเข้ากับ AC-amplifier ทางค้าน input เพื่อขยายสัญญาณที่ได้รับมาส่วนทางค้าน output ต่อเข้ากับออซซิล โลสโคปอ่านค่าผลต่างของเวลาจากออซซิล โลสโคป



ภาพที่ 24 การหาค่า t_{down} เมื่อส่งสัญญาณคลื่นอัลตราโซนิกไปตามกระ雷การไหดของน้ำ

ในการหาค่า t_{down} มีขั้นตอนดังนี้

- (1) หาค่า t_{down} ดังแสดงในภาพที่ 24 พิจารณาจากหัวอัลตราโซนิกที่ว่างเส้นประด้านบน ต่อสายสัญญาณส่งคลื่นอัลตราโซนิกเข้ากับ Function generator หัวอัลตราโซนิกที่อยู่ด้านล่างจะเป็นหัวรับสัญญาณคลื่นอัลตราโซนิกต่อเข้ากับ ออสซิลโลสโคป เพื่อตรวจสอบสัญญาณ
- (2) ทำเครื่องหมายระดับน้ำที่ได้จากการคำนวณความสูงของน้ำในถัง
- (3) ปิดฝาที่ปลายปากท่อ
- (4) ต้มน้ำให้ได้อุณหภูมิ 313.15 K และเติมลงในถัง
- (5) เปิดฝาที่ปลายปากท่อให้น้ำไหดสั่งเกรดรดับน้ำที่ทำเครื่องหมายไว้
- (6) เมื่อน้ำลดลงถึงระดับที่กำหนดอ่านค่าผลต่างของเวลา จากออสซิลโลสโคป บันทึกค่า t_{down}



ภาพที่ 25 การหาค่า t_{up} เมื่อสั่งสัญญาณคลื่นอัลตราโซนิกทราบกระแสการไหลดของน้ำ

ในการหาค่า t_{up} มีขั้นตอนดังนี้

- (1) หาค่า t_{up} ดังแสดงในภาพที่ 25 พิจารณาจากหัวอัลตราโซนิกที่ว่างเส้นประด้านล่าง ต่อสายสัญญาณส่งคลื่นอัลตราโซนิกเข้ากับ Function generator หัวอัลตราโซนิกที่อยู่ด้านบนจะเป็นหัวรับสัญญาณคลื่นอัลตราโซนิกต่อเข้ากับออสซิลโลสโคป เพื่อตรวจสอบสัญญาณ
- (2) ทำเครื่องหมายระดับน้ำที่ได้จากการคำนวณความสูงของน้ำในถัง
- (3) ปิดฝาที่ปิด严密ท่อ
- (4) ต้มน้ำให้ได้อุณหภูมิ 313.15 K แล้วเติมลงในถัง
- (5) เปิดฝาที่ปิด严密ท่อให้น้ำไหลดสั่งเกตระดับน้ำที่ทำเครื่องหมายไว้
- (6) เมื่อน้ำคงลงถึงระดับที่กำหนดค่าผิดต่างของเวลา จากออสซิลโลสโคป บันทึกค่า t_{up}

3.2.2 หาประสิทธิภาพของชุดทดลองการวัดความหนืดของของไหลดด้วยคลื่นอัลตราโซนิก ดังนี้

3.3.1 การหาเรอร์เซ็นต์ความคลาดเคลื่อนจากการทดลองวัดความหนืดของน้ำที่ อุณหภูมิ 313.15 K ดังแสดงในภาคผนวก ฯ

3.3.2 หาความแม่นยำ (precision) ของชุดทดลองการวัดความหนืดของของไหลด ด้วยคลื่นอัลตราโซนิกโดยหาความหนืดของน้ำที่อุณหภูมิ 313.15 K จำนวน 50 ครั้ง วิเคราะห์ผลทางสถิติโดยหาค่าความเบี่ยงเบนมาตรฐาน

3.3 สถานที่ทำการทดสอบ/เก็บข้อมูล

คณะวิทยาศาสตร์และเทคโนโลยี มหาวิทยาลัยเทคโนโลยีราชมงคลกรุงเทพ



บทที่ 4

ผลการวิเคราะห์ข้อมูล

4.1 ผลการสร้างชุดทดลองการวัดความหนืดของของไอลด้วยคลื่นอัลตราโซนิก

ในการออกแบบชุดทดลองการวัดความหนืดของของไอลด้วยคลื่นอัลตราโซนิก ชุดทดลองประกอบด้วยส่วนสำคัญ 4 ส่วน คือ ส่วนที่ 1 ถังน้ำ ส่วนที่ 2 ท่อน้ำที่มีหัวอัลตราโซนิก ทرانส์ดิวเซอร์ ส่วนที่ 3 ถังรองน้ำและส่วนป้อนกลับของของไอล และส่วนที่ 4 ชุดควบคุมและจอยแสดงผล

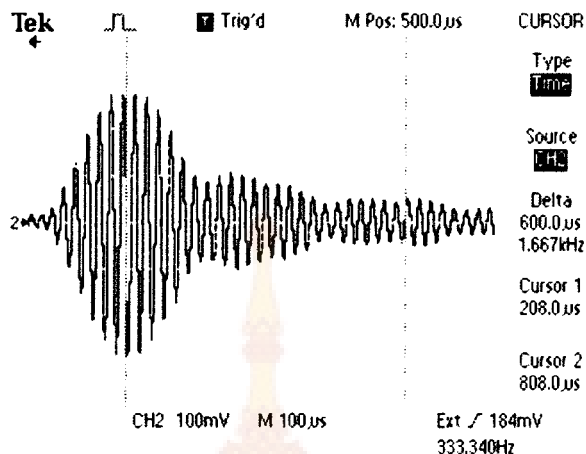
โดยในส่วนของท่อันน้ำผู้วิจัยทำการออกแบบโดยกำหนดขนาดและแบบท่อ โดยทดลองท่อ 2 แบบ พนบว่า ท่อแบบที่ 1 มีอัตราการไหลของน้ำมีค่ามากทำให้การควบคุมอัตราการไหลของน้ำเป็นไปอย่างลำบาก ส่วนการตรวจสอบวัดความดันน้ำ พนบว่าความดันมีค่าน้อยและมีค่าขึ้นลงไม่คงที่ ซึ่งมีผลให้การอ่านค่าความดันผิดพลาด และเมื่อปรับให้ท่อแบบนานอมิเตอร์ ทำมุนอียงกับแนวเดิมเพื่อต้องการแก้ปัญหาค่าความดันมีค่าน้อย พนบว่าความดันของน้ำมีค่าขึ้นๆ ลงๆ ไม่คงที่ทำให้มีความผิดพลาด และในส่วนของเครื่องสร้างสัญญาณอัลตราโซนิกทرانส์ดิวเซอร์ เมื่อใช้ออสซิลโลสโคปตรวจสอบคลื่นสัญญาณ พนบว่าในการสร้างสัญญาณจะเป็นแบบต่อเนื่อง ทำให้การอ่านค่าสัญญาณเป็นไปอย่างลำบาก อย่างไรก็ต้องท่อแบบที่ 1 ไม่สามารถควบคุมอัตราการไหลของน้ำได้ ทำให้ไม่สามารถใช้สมการที่ (20) (Cengel และคณา, 2006) มาคำนวณอัตราการไหลของน้ำเพื่อจะหาความหนืดของน้ำได้

ส่วนท่อแบบที่ 2 พนบว่าสามารถควบคุมอัตราการไหลของน้ำให้เป็นแบบ Laminar flow ได้ คือลักษณะการไหลจะเป็นอย่างราบรื่นมีค่า Reynolds Number จาก 0 ถึง 2,000 (สมศักดิ์, 2540) สำหรับให้ควบคุมความดันของน้ำได้ ตามสมการที่ (24) ส่วนการส่งสัญญาณผ่านท่อ จากภายนอกท่อน้ำ ภาครับสัญญาณยังไม่สามารถรับสัญญาณที่ภาคนางสัญญาณส่งมาให้ได้

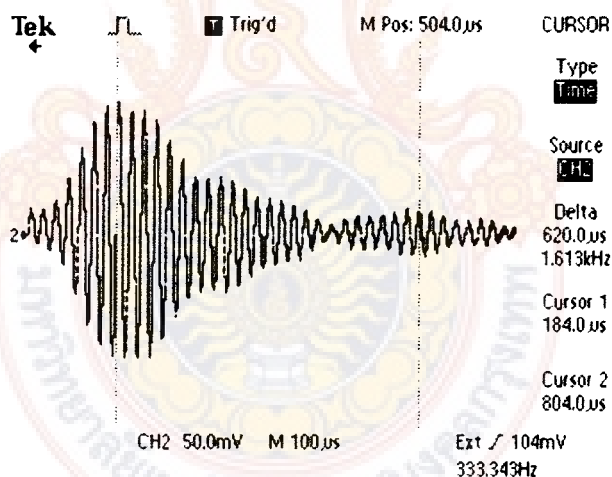
จากแบบท่อทั้ง 2 แบบ ผู้วิจัยเลือกท่อแบบที่ 2 เนื่องจากสามารถควบคุมอัตราการไหลให้เป็นแบบ laminar flow และสามารถควบคุมความดันได้

โดยการส่งสัญญาณอัลตราโซนิกภายนอกท่อ พนบว่า สัญญาณอัลตราโซนิกภาครับสัญญาณไม่สามารถรับสัญญาณได้

ส่วนการส่งสัญญาณอัลตราโซนิกภายในท่อ พนบว่าสามารถส่งและรับสัญญาณได้ทั้งในน้ำและน้ำไอล โดยพบว่าผลต่างของเวลาทวนกระแสการไหลของน้ำจะมีค่ามากกว่าตามกระแสน้ำ ดังแสดงในภาพที่ 26 และ 27



ภาพที่ 26 ภาคการรับสัญญาณเมื่อหัวอัลตราโซนิกทราบสัดวิเชอร์ส่งคลื่นอัลตราโซนิก
ไปตามกระแสการไหลของน้ำ



ภาพที่ 27 ภาคการรับสัญญาณเมื่อหัวอัลตราโซนิกทราบสัดวิเชอร์ส่งคลื่นอัลตราโซนิก
ไปทวนกระแสการไหลของน้ำ

ดังนั้นผู้วิจัยจึงเลือกวิธีการส่งสัญญาณอัลตราโซนิกภายในท่อ อัลตราโซนิกได้ทั้งภาครับและภาคนส่ง แล้วนำมาสอบบัดเครื่องมือโดยหาความหนืดน้ำ เปรียบเทียบกับ ความหนืดของน้ำที่อุณหภูมิ 313.15 k โดยชุดทดลองดังกล่าวมีค่าเฉลี่ยความหนืดน้ำอยู่ที่ 0.000590 N.s/m^2 ซึ่งใกล้เคียง กับค่าความหนืดน้ำมาตรฐานที่ 0.000656 N.s/m^2 (Cengel และคณะ, 2006)

4.2 ผลการหาประสิทธิภาพของชุดทดลองการวัดความหนืดของของไหลด้วยคลื่น อัลตราโซนิก

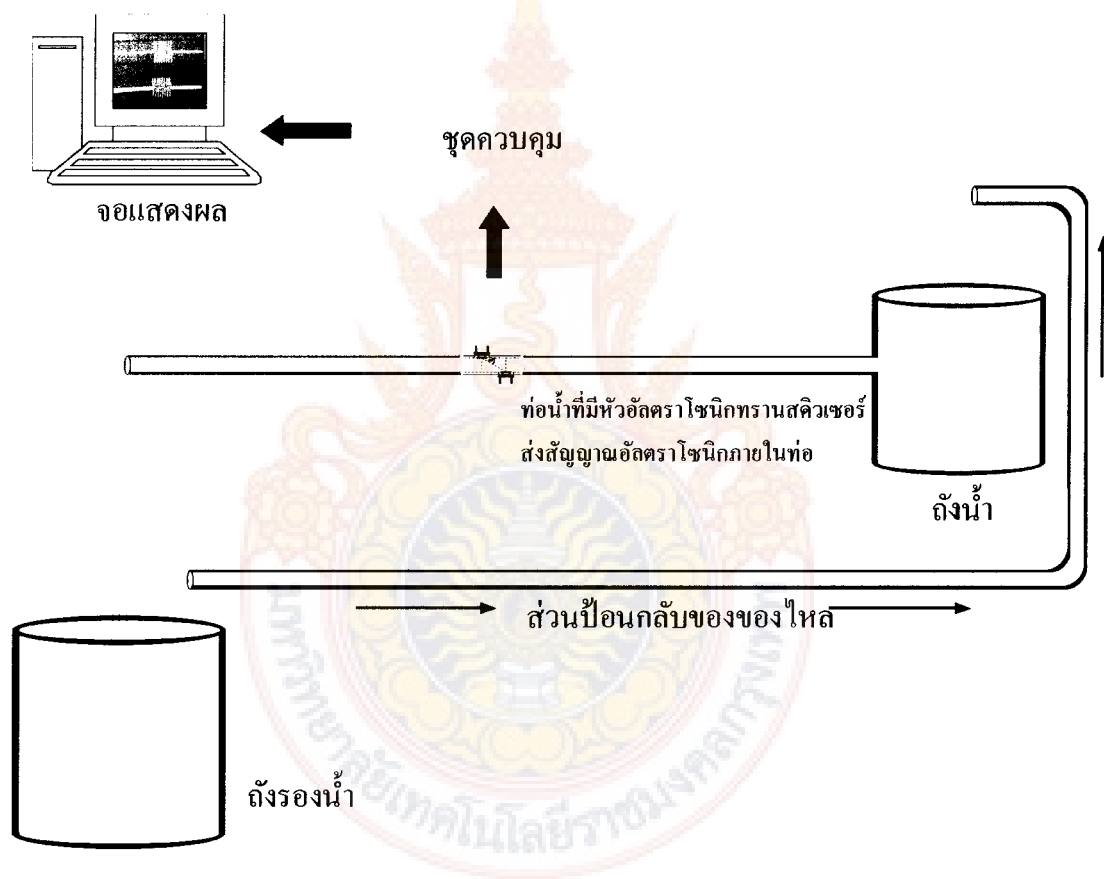
ชุดทดลองการวัดความหนืดของของไหลด้วยคลื่นอัลตราโซนิกที่ได้จากการวิจัยนี้ ประกอบด้วยส่วนสำคัญ 4 ส่วน คือ

ส่วนที่ 1 ถังน้ำ

ส่วนที่ 2 ท่อน้ำที่มีหัวอัลตราโซนิกทราบสติวเซอร์ส่งสัญญาณอัลตราโซนิกภายในท่อ

ส่วนที่ 3 ถังรองน้ำและส่วนป้อนกลับของของไหล

ส่วนที่ 4 ชุดควบคุมและจอแสดงผล



ภาพที่ 28 ส่วนประกอบสำคัญของชุดทดลองการวัดความหนืดของของไหลด้วยคลื่นอัลตราโซนิก

ส่วนที่ 1 ถังน้ำ เป็นถังพลาสติกเส้นผ่านศูนย์กลาง 0.53 เมตร สูง 0.30 เมตร แนวการเจาะถังวัดจากก้นถึงขึ้นมาเป็นระยะ 0.225 เมตร เป็นชุดกึ่งกลางของท่อ แล้วจะเพื่อเชื่อมต่อกันท่อน้ำ

ส่วนที่ 2 ท่อน้ำที่มีหัวอัลตราโซนิกทราบสดิวเซอร์สั่งสัญญาณอัลตราโซนิกภายในท่อ โดยท่อ มีขนาดเส้นผ่านศูนย์กลางภายใน 0.0139 เมตร ยาว 5 เมตร ตรงกลางห่อเจาะท่อ 2 ช่องให้พอดีกับหัว อัลตราโซนิกทราบสดิวเซอร์ โดยวางให้ทำมุมกัน 30 องศา

ส่วนที่ 3 ถังรองน้ำและส่วนป้อนกลับของของไหล

ส่วนที่ 4 ชุดควบคุมและขอแสดงผล ประกอบด้วย 1) Function generator เป็นแหล่งกำเนิด ความถี่ 2) Ampifier เป็นส่วนขยายสัญญาณ 3) ออสซิโลสโคป ที่เชื่อมต่อกับคอมพิวเตอร์

นำชุดทดลองดังกล่าว มาหาประสิทธิภาพของชุดทดลองการวัดความหนืดของของไหลด้วย คลื่นอัลตราโซนิก โดยหาปรอทเข็นต์ความคลาดเคลื่อนจากการทดลองวัดความหนืดของน้ำที่อุณหภูมิ 313.15 K (Chapra and Raymond , 2002) ดังแสดงในภาคผนวก ฯ และหาความแม่นยำ (precision) ของ ชุดทดลองการวัดความหนืดของของไหลด้วยคลื่นอัลตราโซนิก โดยหาความหนืดของน้ำที่อุณหภูมิ 313.15 K จำนวน 50 ครั้ง วิเคราะห์ผลทางสถิติโดยหาค่าความเบี่ยงเบนมาตรฐาน (Kinney, 2002) ได้ผลการทดลองดังแสดงในตารางที่ 1



ตารางที่ 1 ผลการวัดความหนืด η ของน้ำที่อุณหภูมิ 313.5 k ด้วยชุดทดลองการวัดความหนืดของของไอล์ดีวายคลีน อัลตราโซนิก จำนวน 50 ครั้ง

ครั้ง ที่	t_{up} (s)	t_{down} (s)	อัตราการไอล $Q(m^3 / s)$	ความหนืด $\eta(N.s / m^2)$	පෝර්เซ็นต์ ความคลาด เคลื่อน
1	0.000608	0.0006	0.00003083	0.000583005	11.12722479
2	0.000592	0.000584	0.00003253	0.000552525	15.77355584
3	0.000612	0.000604	0.00003043	0.000590753	9.946152378
4	0.000596	0.000588	0.00003210	0.000560069	14.62366686
5	0.000612	0.000604	0.00003043	0.000590753	9.946152378
6	0.000616	0.000608	0.00003003	0.000598552	8.757284113
7	0.000616	0.000608	0.00003003	0.000598552	8.757284113
8	0.000608	0.0006	0.00003083	0.000583005	11.12722479
9	0.00062	0.000612	0.00002964	0.000606402	7.560619991
10	0.000616	0.000608	0.00003003	0.000598552	8.757284113
11	0.0006	0.000592	0.00003167	0.000567663	13.46598203
12	0.000616	0.000608	0.00003003	0.000598552	8.757284113
13	0.000616	0.000608	0.00003003	0.000598552	8.757284113
14	0.000616	0.000608	0.00003003	0.000598552	8.757284113
15	0.00062	0.000612	0.00002964	0.000606402	7.560619991
16	0.00062	0.000612	0.00002964	0.000606402	7.560619991
17	0.000616	0.000608	0.00003003	0.000598552	8.757284113

ตารางที่ 1 (ต่อ)

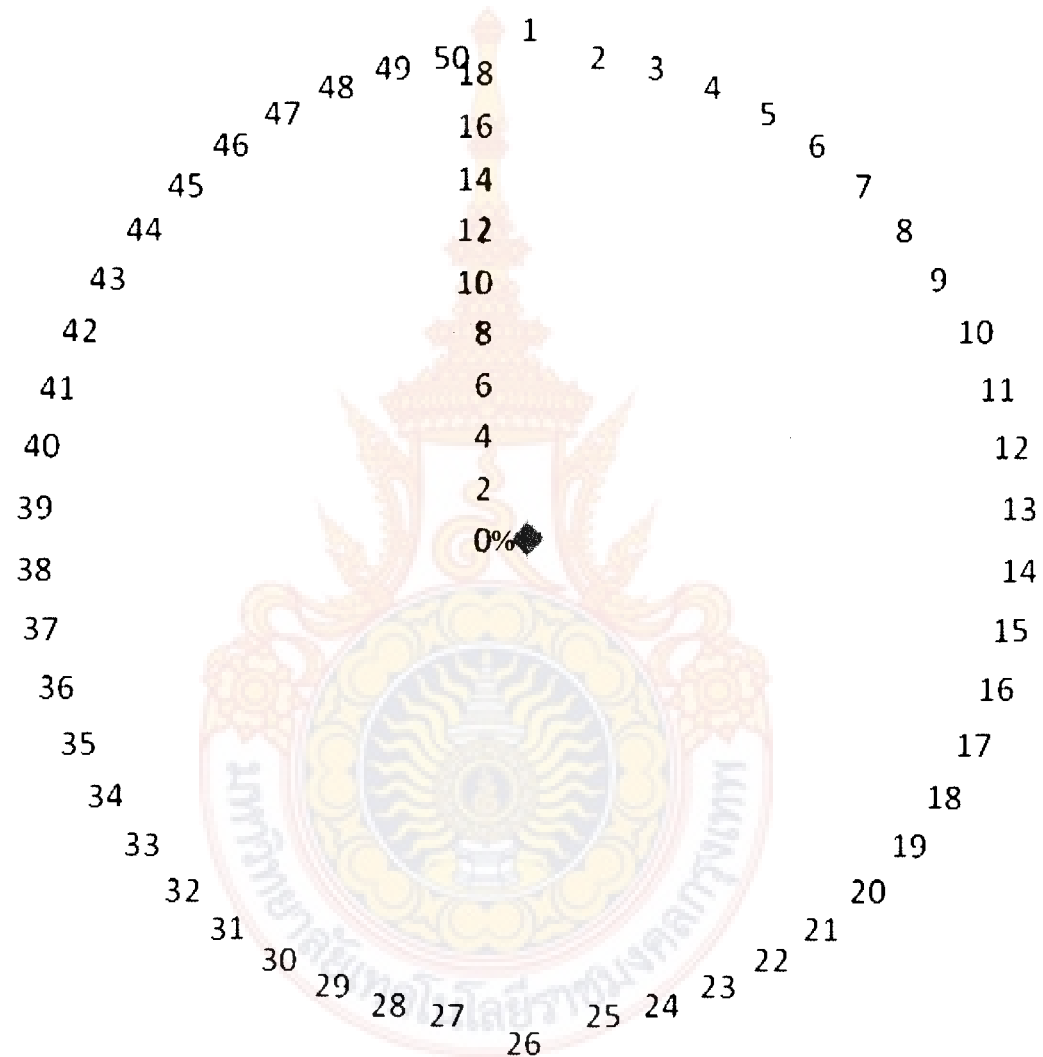
ครั้ง ที่	t_{up} (s)	t_{down} (s)	อัตราการไหล $Q(m^3 / s)$	ความหนืด $\eta(N.s / m^2)$	පෝර්เซ็นต์ ความคลาด เคลื่อน
18	0.00062	0.000612	0.00002964	0.000606402	7.560619991
19	0.000624	0.000616	0.00002926	0.000614304	6.356160011
20	0.000616	0.000608	0.00003003	0.000598552	8.757284113
21	0.000612	0.000604	0.00003043	0.000590753	9.946152378
22	0.000616	0.000608	0.00003003	0.000598552	8.757284113
23	0.00062	0.000612	0.00002964	0.000606402	7.560619991
24	0.000588	0.00058	0.00003298	0.000545033	16.91564896
25	0.000616	0.000608	0.00003003	0.000598552	8.757284113
26	0.0006	0.000592	0.00003167	0.000567663	13.46598203
27	0.000604	0.000596	0.00003125	0.000575309	12.30050134
28	0.000604	0.000596	0.00003125	0.000575309	12.30050134
29	0.000592	0.000584	0.00003253	0.000552525	15.77355584
30	0.000612	0.000604	0.00003043	0.000590753	9.946152378
31	0.000608	0.0006	0.00003083	0.000583005	11.12722479
32	0.000616	0.000608	0.00003003	0.000598552	8.757284113
33	0.0006	0.000592	0.00003167	0.000567663	13.46598203
34	0.000616	0.000608	0.00003003	0.000598552	8.757284113
35	0.00062	0.000612	0.00002964	0.000606402	7.560619991
36	0.00062	0.000612	0.00002964	0.000606402	7.560619991
37	0.0006	0.000592	0.00003167	0.000567663	13.46598203
38	0.00062	0.000612	0.00002964	0.000606402	7.560619991
39	0.00062	0.000612	0.00002964	0.000606402	7.560619991
40	0.000616	0.000608	0.00003003	0.000598552	8.757284113
41	0.000608	0.0006	0.00003083	0.000583005	11.12722479
42	0.000612	0.000604	0.00003043	0.000590753	9.946152378

ตารางที่ 1 (ต่อ)

ครั้ง ที่	t_{up} (s)	t_{down} (s)	อัตราการไหล $Q(m^3 / s)$	ความหนืด $\eta(N.s / m^2)$	පෝර්เซ็นต์ ความคลาด เคลื่อน
43	0.000616	0.000608	0.00003003	0.000598552	8.757284113
44	0.00062	0.000612	0.00002964	0.000606402	7.560619991
45	0.000616	0.000608	0.00003003	0.000598552	8.757284113
46	0.00062	0.000612	0.00002964	0.000606402	7.560619991
47	0.0006	0.000592	0.00003167	0.000567663	13.46598203
48	0.000616	0.000608	0.00003003	0.000598552	8.757284113
49	0.000616	0.000608	0.00003003	0.000598552	8.757284113
50	0.0006	0.000592	0.00003167	0.000567663	13.46598203
ค่าเฉลี่ย				0.000590253	10.02239586
ค่าความเบี่ยงเบนมาตรฐาน				0.00001699	

จากผลการทดสอบชุดทดลองพบว่ามีความแม่นยำ (precision) ของชุดทดลองการวัดความหนืดของของไหลด้วยคลื่นอัลตราโซนิกโดยหาความหนืดของน้ำที่อุณหภูมิ 313.15 K จำนวน 50 ครั้ง มีค่าความหนืดอยู่ในช่วง $0.000545033 - 0.000614304 \text{ N.s/m}^2$ ค่าเฉลี่ยความหนืดน้ำอยู่ที่ $0.000590253 \text{ N.s/m}^2$ ซึ่งใกล้เคียงกับค่าความหนืดมาตรฐานที่ 0.000656 N.s/m^2 (Cengel และคณา, 2006) และมีค่าความเบี่ยงเบนมาตรฐาน 0.00001699

จากผลการทดสอบชุดทดลองพบว่าประสิทธิภาพของชุดทดลองการวัดความหนืดของของไอล์ดี้วายค์ลีนอัลตราโซนิก มีเปอร์เซ็นต์ความคลาดเคลื่อนจากการทดลองวัดความหนืดของน้ำที่อุณหภูมิ 313.15 K (Chapra and Raymond , 2002) อยู่ในช่วงร้อยละ 6.3561-16.915 คิดเป็นค่าเฉลี่ยความคลาดเคลื่อนร้อยละ 10.0223 (ค่าความเบี่ยงเบนมาตรฐาน ± 2.59) ดังแสดงในภาพที่ 21



ภาพที่ 29 เปอร์เซ็นต์ความคลาดเคลื่อนจากการทดลองวัดความหนืดของน้ำที่อุณหภูมิ 313.15 K จำนวน 50 ครั้ง ของชุดทดลองการวัดความหนืดของของไอล์ดี้วายค์ลีนอัลตราโซนิก

นอกจากนี้ได้ทำการทดสอบชุดทดลองโดยนำชุดทดลองการวัดความหนืดของของไหลด้วยคลื่นอัตตราโโซนิก วัดค่าความหนืดของน้ำที่อุณหภูมิแตกต่างกัน คือ 283.15 K 288.15 K 293.15 K 303.15 K และ 313.15 K วิเคราะห์เปอร์เซ็นต์ความคลาดเคลื่อนจากการทดลองวัดความหนืดของน้ำที่แต่ละอุณหภูมิ (Chapra and Raymond , 2002) ได้ผลการทดลองดังแสดงในตารางที่ 2 และภาพที่ 30

ตารางที่ 2 ผลการวัดความหนืด η ของน้ำที่อุณหภูมิ คือ 283.15 K 288.15 K 293.15 K 303.15 K และ 313.15 K ด้วยชุดทดลองการวัดความหนืดของของไหลด้วยคลื่นอัตตราโโซนิก

อุณหภูมิ (K)	t_{up} (s)	t_{down} (s)	อัตราการไหลด $Q(m^3 / s)$	ความหนืด $\eta(N.s / m^2)$	เปอร์เซ็นต์ความคลาดเคลื่อน
283.15	0.00062	0.000616	0.00001473	0.001220731	6.671904159
	0.000624	0.00062	0.00001454	0.001236585	5.459850966
	0.00062	0.000616	0.00001473	0.001220731	6.671904159
			ค่าเฉลี่ย	0.001226016	6.267886428
			ค่าเบี่ยงเบนมาตรฐาน	0.00000915	
288.15	0.000616	0.000612	0.00001492	0.00120498	5.700010481
	0.000596	0.000592	0.00001594	0.001127757	1.073905817
	0.000588	0.000584	0.00001638	0.001097584	3.720667815
			ค่าเฉลี่ย	0.001143441	0.301812283
			ค่าเบี่ยงเบนมาตรฐาน	0.00005539	
293.15	0.000568	0.000564	0.00001756	0.001023942	1.884736205
	0.000576	0.000572	0.00001707	0.001053092	4.78526061
	0.00058	0.000576	0.00001683	0.00106782	6.250788731
			ค่าเฉลี่ย	0.001048285	4.306928515
			ค่าเบี่ยงเบนมาตรฐาน	0.00003273	
			ค่าความหนืดมาตรฐาน	0.001005	

ตารางที่ 2 (ต่อ)

อุณหภูมิ (K)	t_{up} (s)	t_{down} (s)	อัตราการไหล $Q(m^3 / s)$	ความหนืด $\eta(N.s / m^2)$	ปอร์เซ็นต์ ความคลาดเคลื่อน
303.15	0.000564	0.00056	0.00001781	0.00100952	26.03244522
	0.000584	0.00058	0.00001660	0.001082651	35.16245518
	0.000584	0.00058	0.00001660	0.001082651	35.16245518
			ค่าเฉลี่ย	0.001058274	32.11911853
			ค่าเบี่ยงเบนมาตรฐาน	0.00004222	
313.15	0.000604	0.000596	0.00003125	0.000575309	12.30050134
	0.000612	0.000604	0.00003043	0.000590753	9.946152378
	0.000624	0.000616	0.00002926	0.000614304	6.356160011
			ค่าเฉลี่ย	0.000593455	9.534271242
			ค่าเบี่ยงเบนมาตรฐาน	0.00056962	
			ค่าความหนืดมาตรฐาน	0.000656	

ເປົ້ອງເຫັນຕີຄວາມຄລາດເຄລື່ອນ

35

30

25

20

15

10

5

0

280 285 290 295 300 305 310 315 ອຸນຫຼຸມ (K)

■ ດໍາຄວາມທີ່ຈະກາລຽງ

ເປົ້ອງເຫັນຕີຄວາມຄລາດເຄລື່ອນ

ກາພທີ 30 ເປົ້ອງເຫັນຕີຄວາມຄລາດເຄລື່ອນຂອງໜີ້ດອງຂອງໄຫລ
ຕ້ວຍຄລື່ນອັດຕາໂໂນິກທີ່ຂ່າວອຸນຫຼຸມ 283.15 K 288.15 K 293.15 K 303.15 K
ແລະ 313.15 K ກັນດໍາຄວາມທີ່ຈະກາລຽງ

ຈາກກາພຈະເຫັນວ່າດໍາຄວາມທີ່ຈະກາລຽງຂອງນ້ຳທີ່ອຸນຫຼຸມ 283.15 K 288.15 K 293.15 K ແລະ 313.15 K
ເປັນໜີ້ທີ່ໜີ້ດອງທຳງານໄດ້ ເນື່ອງຈາກມີເປົ້ອງເຫັນຕີຄວາມຄລາດເຄລື່ອນອູ້ງໃນໜີ້ທີ່ຈະກາລຽງ 0 - 10 ໂດຍທີ່
ອຸນຫຼຸມ 288.15 K ມີເປົ້ອງເຫັນຕີຄວາມຄລາດເຄລື່ອນນ້ຳຍາກກີ່ອ 0.301812283 ສ່ວນທີ່ອຸນຫຼຸມທີ່ 303.15 K
ມີເປົ້ອງເຫັນຕີຄວາມຄລາດເຄລື່ອນນາກກວ່າໜີ້ອຸນຫຼຸມອື່ນໆ ທີ່ຮ້ອຍລະ 32.11911853 ທັງນີ້ຈາກນີ້ອ່ານມາຈາກ
ໜີ້ດອງດັ່ງກ່າວມີຄວາມໝາຍາສຳເນົາທີ່ໃຫ້ເກີດເປົ້ອງເຫັນຕີຄວາມຄລາດເຄລື່ອນຕ່ອງໄປ
ອ່າງໄຣກີ່ຄວາມມື

บทที่ 5

สรุป อภิปรายผล และข้อเสนอแนะ

5.1 สรุป อภิปรายผล

การศึกษาเรื่องการสร้างและหาประสิทธิภาพของชุดทดลองการวัดความหนืดของของไอลด้วยคลื่นอัลตราโซนิก มีวัตถุประสงค์เพื่อสร้างชุดทดลองการวัดความหนืดของของไอลด้วยคลื่นอัลตราโซนิก และเพื่อหาประสิทธิภาพของชุดทดลองการวัดความหนืดของของไอลด้วยคลื่นอัลตราโซนิกสามารถสรุปผลได้ดังนี้

5.1.1 ชุดทดลองการวัดความหนืดของของไอลด้วยคลื่นอัลตราโซนิกที่ได้จากการวิจัยนี้ ประกอบด้วยส่วนสำคัญ 4 ส่วน คือ

ส่วนที่ 1 ถังน้ำ เป็นถังพลาสติกเส้นผ่านศูนย์กลาง 0.53 เมตร สูง 0.30 เมตร แนวการเจาะถังวัดจากก้นถังขึ้นมาเป็นระยะ 0.225 เมตร เป็นจุดกึ่งกลางของห่อ แล้วจะเพื่อเชื่อมต่อ กับท่อน้ำ

ส่วนที่ 2 ท่อน้ำที่มีหัวอัลตราโซนิกทรายสดิวเซอร์ส่งสัญญาณอัลตราโซนิกภายในห่อ โดยท่อ มีขนาดเส้นผ่านศูนย์กลางภายใน 0.0139 เมตร ยาว 5 เมตร ตรงกลางห่อจะต่อ 2 ช่องให้พอดี กับหัวอัลตราโซนิกทรายสดิวเซอร์ โดยวางให้ทำมุมกัน 30 องศา

ส่วนที่ 3 ถังรองน้ำและส่วนป้อนกลับของของไอล

ส่วนที่ 4 ชุดควบคุมและจอแสดงผล

5.1.2 ใน การหาประสิทธิภาพของชุดทดลองการวัดความหนืดของของไอลด้วยคลื่นอัลตราโซนิก พบร้าชุดทดลองเมื่อนำมาหาความหนืดของน้ำ ที่อุณหภูมิ 313.15 K จำนวน 50 ครั้ง ได้ค่าความหนืดอยู่ ในช่วง $0.000545-0.000614 \text{ N.s/m}^2$ ค่าเฉลี่ยความหนืดน้ำอยู่ที่ 0.000590 N.s/m^2 ซึ่งใกล้เคียงกับค่าความหนืดน้ำมาตรฐานที่ 0.000656 N.s/m^2 (Cengel และคณา, 2006) มีค่าความเบี่ยงเบนมาตรฐาน 0.000016 และมีเบอร์เซ็นต์ความคลาดเคลื่อนจากการทดลองวัดความหนืดของน้ำที่อุณหภูมิ 313.15 K อยู่ในช่วง ร้อยละ $6.35-16.91$ คิดเป็นค่าเฉลี่ยความคลาดเคลื่อนร้อยละ 10.02 (ค่าความเบี่ยงเบนมาตรฐาน ± 2.59)

5.2 ข้อเสนอแนะ

ควรนีการศึกษาเปรียบเทียบประสิทธิภาพของชุดทดลอง โดยใช้หัวทรายสดิวเซอร์ ที่มีการใช้งานของความถี่แตกต่างกัน

บรรณานุกรม

กองควบคุมเครื่องสำอาง. มปป. “หลักเกณฑ์วิธีการที่ดีในการผลิตเครื่องสำอาง (Good Manufacturing Practice:GMP)” [ออนไลน์] เข้าถึงข้อมูลได้จาก:

<http://www.fda.moph.go.th/fda-net/html/product/cosmetic/cosmetic/dat/gmp-std.html>.
(วันที่สืบค้น 20 กันยายน 2552)

ทวิช จิตรสมบูรณ์. 2549. กลศาสตร์ของเหลว Fluid Mechanics. กรุงเทพฯ: สำนักพิมพ์ห้องจำถัด.

ปัจจะ ทรัพย์ประเสริฐ. 2538. “เทคโนโลยีการวัดอัตราการไหลด้วยอัลตราโซนิก” เทคนิคเครื่องกล-ไฟฟ้า-อุตสาหกรรม. 125, (กรกฎาคม 2538): 157-162

สมาคมส่งเสริมเทคโนโลยี (ไทย-ญี่ปุ่น). 2543. การทดสอบแบบไม่ทำลาย NON DESTRUCTIVE TESTING. กรุงเทพฯ: สำนักพิมพ์ ส.ส.ท.

สุชาติ แซ่เชง. 2544. คลื่นเสียงและการประยุกต์. กรุงเทพฯ: องค์การค้าครุภัณฑ์.

สุนันท์ ศรัณยนิตย์. 2548. กลศาสตร์ของเหลว FLUID MECHANICS. พิมพ์ครั้งที่ 7. กรุงเทพฯ: สำนักพิมพ์ ส.ส.ท.

สมศักดิ์ ไชยภินันท์. 2552. กลศาสตร์ของเหลว. พิมพ์ครั้งที่ 2. กรุงเทพฯ: สำนักพิมพ์แห่งจุฬาลงกรณ์มหาวิทยาลัย.

สมศักดิ์ กีรติวุฒิเศรษฐี. 2540. หลักการและการใช้งานเครื่องมือวัดอุตสาหกรรม. พิมพ์ครั้งที่ 12.
กรุงเทพฯ: สำนักพิมพ์ ส.ส.ท.

Cengel, A. Yunus and John, M. Cimbala. 2006. **Fluid Mechanics Fundamentals and Application**. New York: McGraw-Hill.

Chapra, S. C. and Raymond, P. Canale. 2002. **Numerical Methods for Engineers with Software and Programming Applications**. New York: McGraw-Hill.

Cutnell, John D. and Johnson, Kenneth W. 2010 : **Introduction to Physics**. 8th ed. Asia: John Wiley & Sons (Asia) pte Ltd.

Kandpal, J.B. and M. Madan. 1994. **Jatropha curcas: a renewable source of energy for meeting future energy needs**. Technical Note. 6: 159-160.

Kinney, John J. 2002. **Statistics for Science and Engineering**. New York: Addison Wesley Publishing Company.

- Raj, Baldev, V. Rajendran and P. Palanichamy. 2007. **Science and Technology of Ultrasonics**. India: Alpha Science International Ltd.
- Wang, L., Kathryn, I., McCarthy, Michael J. McCarthy. 2004. **Effect of temperature gradient on ultrasonic Doppler velocimetry measurement during pipe flow**. Food Research International. 37(2004): 633-642.
- Young, H.D. and Roger A. Freedman. 2000. **University Physics with Modern Physics**. 10 th ed. New York : Addison-Wesley Publishing Company.







สมการของ Reynolds number (สมศักดิ์, 2540)

จากสมการที่ (20)

$$Re = \frac{\rho v D}{\eta}$$

จะได้

$$v = \frac{\eta Re}{\rho D} \quad (31)$$

และจากสมการของความเร็วในการไหลของของเหลวที่มีความหนืด η ไหลผ่านท่อซึ่งมีรัศมีภายในเท่ากับ R ยาว L ที่ระยะห่าง r จากจุดกึ่งกลางท่อ

$$v = \frac{P_1 - P_2}{4\eta L} (R^2 - r^2)$$

จึงได้

$$\frac{\eta Re}{\rho D} = \frac{P_1 - P_2}{4\eta L} (R^2 - r^2)$$

และ

$$P_1 - P_2 = \frac{4\eta^2 L Re}{(R^2 - r^2) \rho D} \quad (32)$$

ในการทดลอง $P_1 - P_2 = \rho g h$ เมื่อ h แทนความสูงของระดับน้ำในถังจากจุดกึ่งกลางท่อ

จึงได้

$$\rho g h = \frac{4\eta^2 L Re}{(R^2 - r^2) \rho D}$$

และ

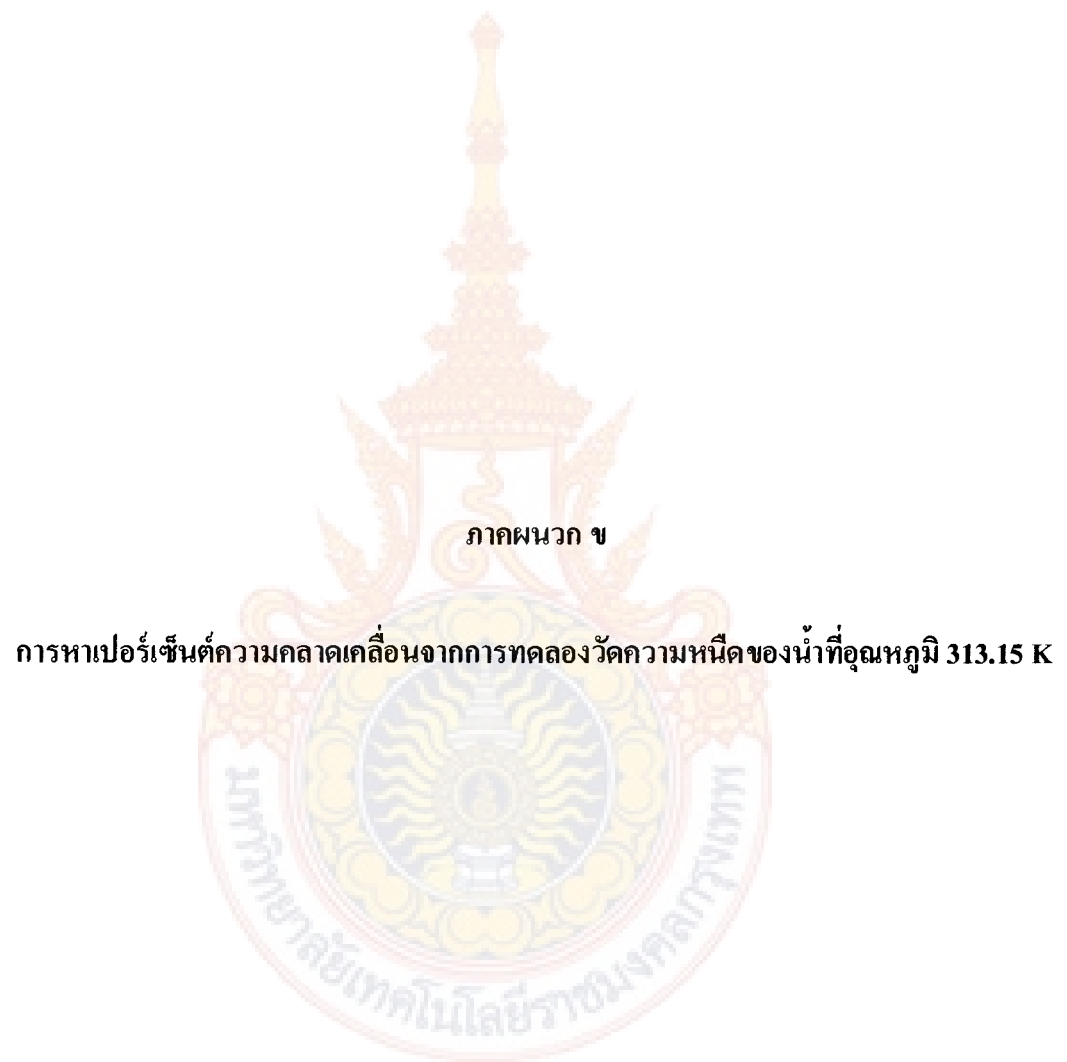
$$h = \frac{4\eta^2 L Re}{(R^2 - r^2) \rho^2 g D}$$

เนื่องจาก $D = 2R$ และ $r = 0$ เมื่อพิจารณาการไหลในแนวกึ่งกลางท่อ

คั่งน้ำ

$$h = \frac{4\eta^2 L Re}{2R^3 \rho^2 g} \quad (33)$$

การไหลจะเป็นการไหลแบบราบเรียบเมื่อ $Re < 2,000$



การหาเปอร์เซ็นต์ความคลาดเคลื่อนจากการทดลองวัดความหนืดของน้ำที่อุณหภูมิ 313.15 K
(Chapra and Raymond , 2002)

$$\%Error = \left| \frac{true - experiment}{true} \right| \times 100\%$$



ประวัติผู้รับผิดชอบแผนงานวิจัย

1. ชื่อ - นามสกุล (ภาษาไทย) นายบุญคุ่ม กงมหา
ชื่อ - นามสกุล (ภาษาอังกฤษ) Mr. Boonkum Kongmaha
2. เลขหมายบัตรประจำตัวประชาชน 34607000661671
3. ตำแหน่งปัจจุบัน อาจารย์ พนักงานมหาวิทยาลัย
4. หน่วยงานและสถานที่อยู่ที่ติดต่อได้สะดวก พร้อมหมายเลขโทรศัพท์ โทรสาร และ
 - ไปรษณีย์เดลิเวอรอนิคส์ (e-mail)
ที่อยู่ มหาวิทยาลัยเทคโนโลยีราชมงคลกรุงเทพ คณะวิทยาศาสตร์และเทคโนโลยี
สาขาวิชาพิสิกส์
เลขที่ 2 ถนนนางลืนจី เขตสาทร แขวงทุ่งมหาเมฆ กรุงเทพฯ 10120
5. หมายเลขโทรศัพท์ 02-287-9731
6. โทรสาร -
7. e-mail bkongmaha@hotmail.com
5. ประวัติการศึกษา

พ.ศ. 2543	วท.บ. (วิทยาศาสตรบัณฑิต) สาขาวิชาพิสิกส์ คณะวิทยาศาสตร์ มหาวิทยาลัยรามคำแหง
พ.ศ. 2548	วท.ม. (วิทยาศาสตรมหาบัณฑิต) สาขาวิชาพิสิกส์ คณะวิทยาศาสตร์ มหาวิทยาลัยรามคำแหง
6. สาขาวิชาการที่มีความชำนาญพิเศษ (แตกต่างจากวุฒิการศึกษา) ระบุสาขาวิชาการ -
7. ประสบการณ์ที่เกี่ยวข้องกับการบริหารงานวิจัยทั้งภายในและภายนอกประเทศ โดยระบุ
สถานภาพในการทำการวิจัยว่าเป็นผู้อำนวยการแผนงานวิจัย หัวหน้าโครงการวิจัย หรือ
 - ผู้ร่วมวิจัยในแต่ละผลงานวิจัย -
 - 7.1 ผู้อำนวยการแผนงานวิจัย : ชื่อแผนงานวิจัย -
 - 7.2 หัวหน้าโครงการวิจัย : ชื่อโครงการวิจัย -
 - 7.3 งานวิจัยที่ทำเสร็จแล้ว : ชื่อผลงานวิจัย ปีที่พิมพ์ การเผยแพร่ และแหล่งทุน
(อาจมากกว่า 1 เรื่อง) -
 - 7.4 งานวิจัยที่กำลังทำ : ชื่อข้อเสนอการวิจัย แหล่งทุน และสถานภาพในการทำ
วิจัยว่าได้ทำการวิจัยถูกล่วงแล้วประมาณร้อยละเท่าใด